



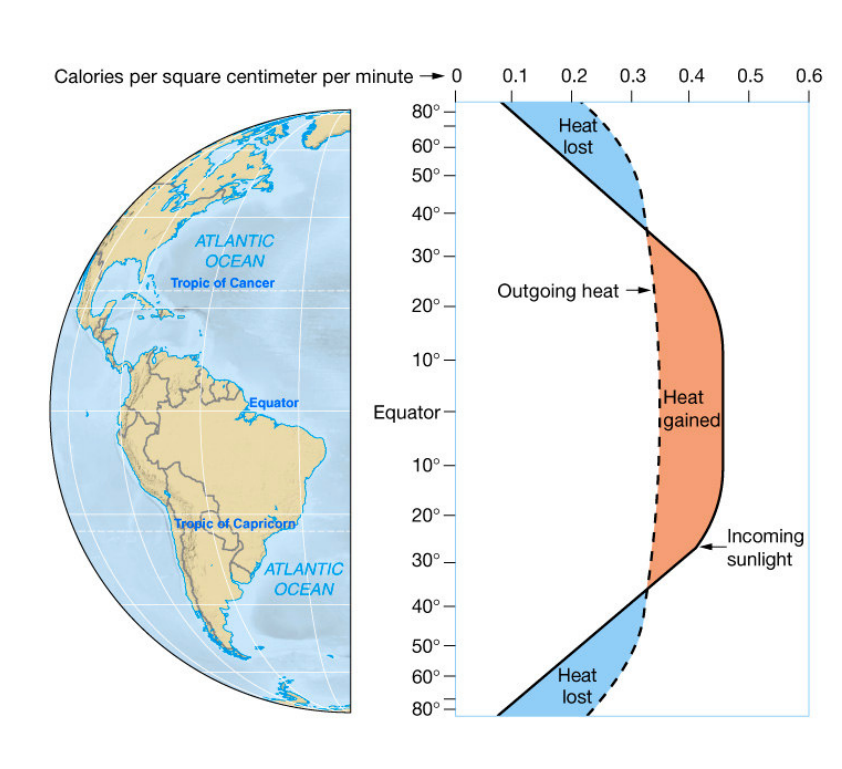
## Interação Oceano-Atmosfera

II-ESBM Florianópolis Junho 2007

## Balanço de Calor do Sistema Oceano-Atmosfera

Dr. Luciano Ponzi Pezzi, luciano@cptec.inpe.br

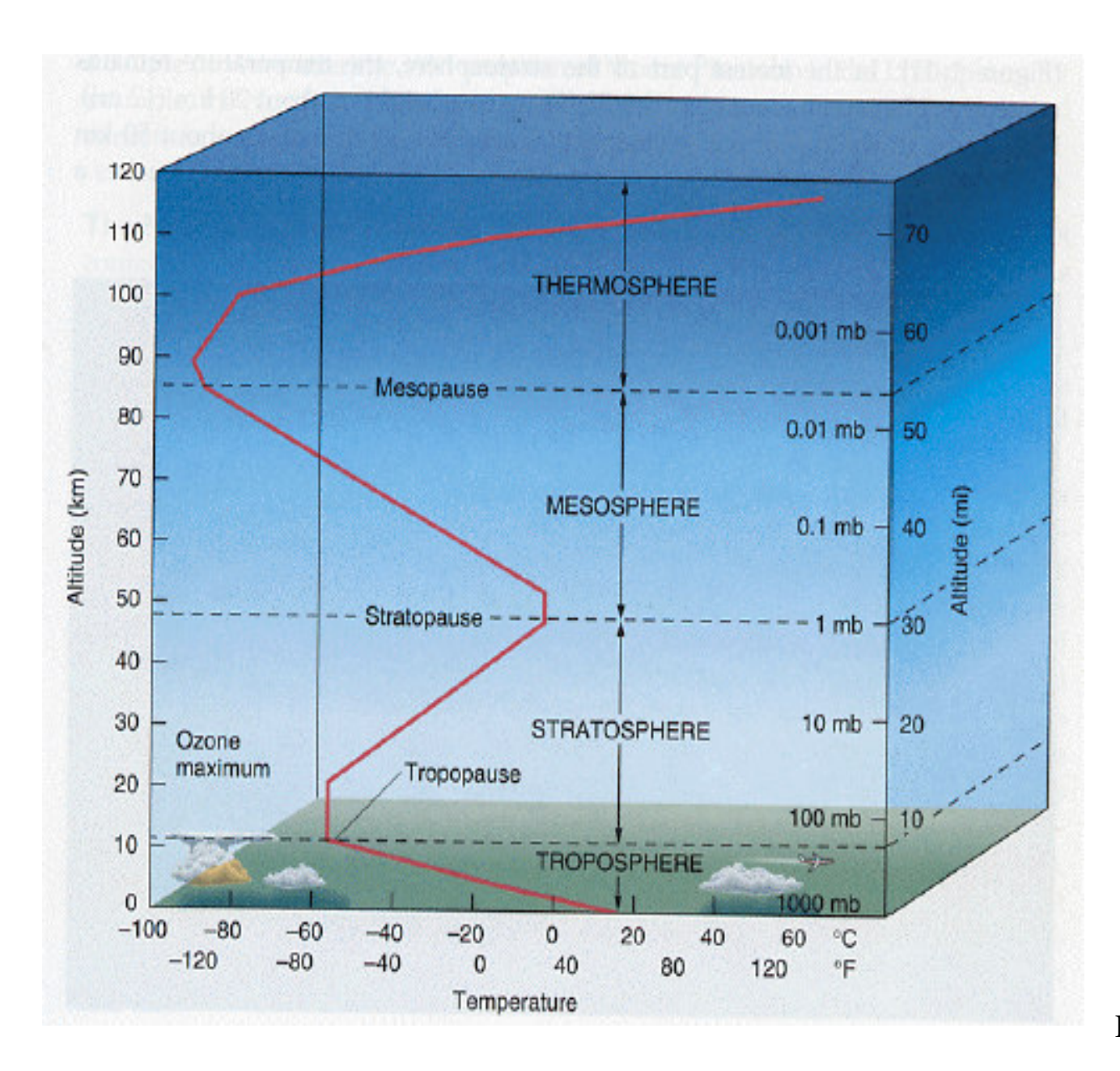
- ✓ Estrutura e Composição Atmosférica
- ✓ Transferência de Calor na Interface Ar-Mar
- ✓ Energia Radiativa Solar
- ✓ Energia Refletida
- ✓ Fluxos de Calor Sensível e Latente
- ✓ O Efeito Estufa





#### A atmosfera terrestre é dividida em 4 grandes camadas:





#### Termosfera

Mesopausa

Mesosfera

Estratopausa

Estratosfera

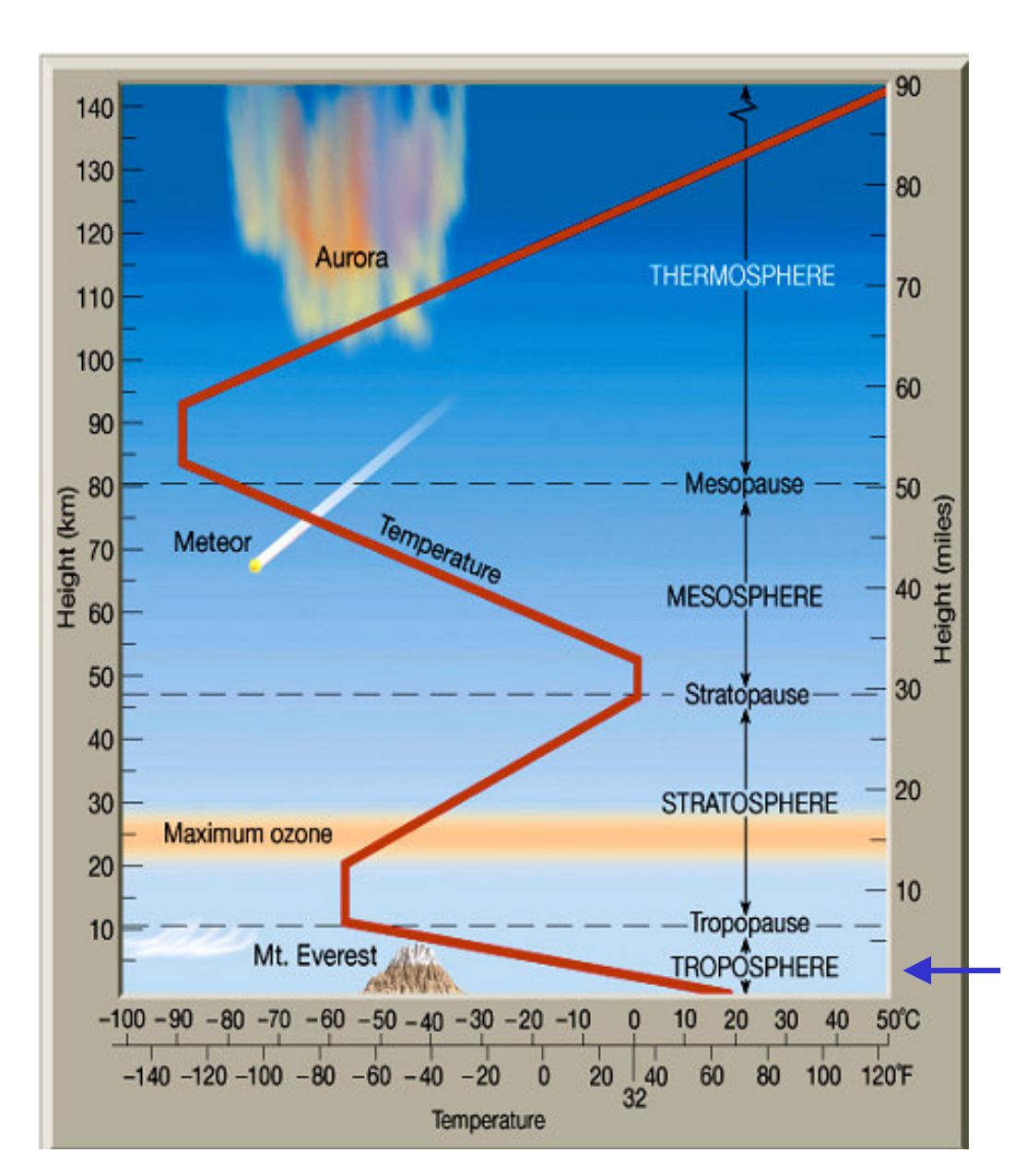
Tropopausa

Troposfera

Fonte: Understanding Weather and Climater 7







Raio da Terra ~ 6300 km Atmosfera ~ 100 km

### Troposfera

- Contém 80% da massa da ATM
- Superfície aquecida pela radiação solar
- Forte movimento vertical
- É onde a maioria dos fenômenos meteorológicos ocorrem

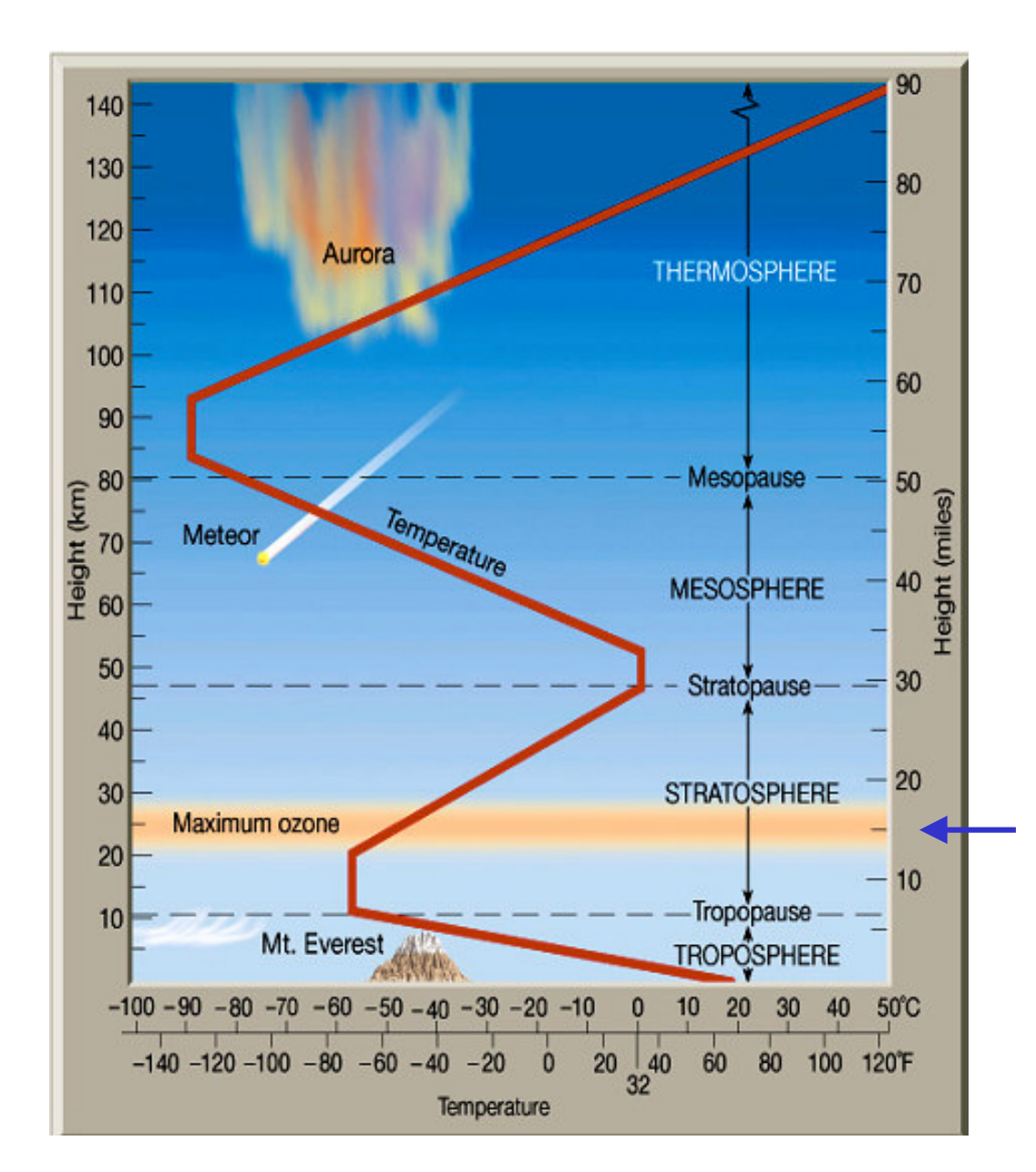
#### Lapse Rate

$$\Gamma = \frac{\partial T}{\partial z} \cong 6.5^{\circ}C / km = 0.0065^{\circ}C / m$$

http://www.ux1.eiu.edu/~cfjps/1400/atmos\_struct.html





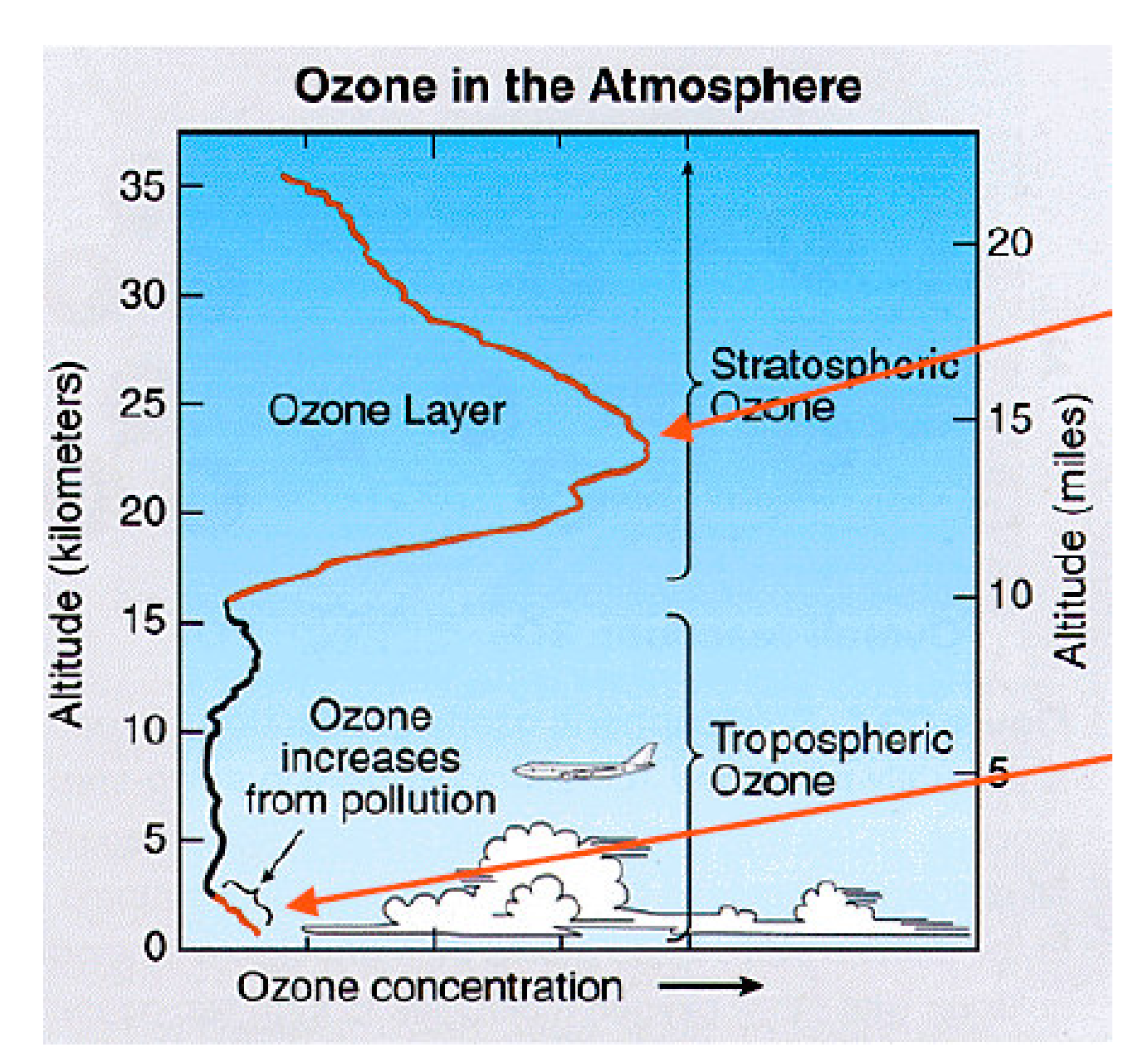


#### Estratosfera

- Fraco movimento vertical (inibido pela inversão de temp.)
- Dominada pelos processos radiativos
- é aquecida pela absorção do radiação solar UV pelo Ozônio
- é onde se localiza a Camada de Ozônio que é essencial a vida na Terra





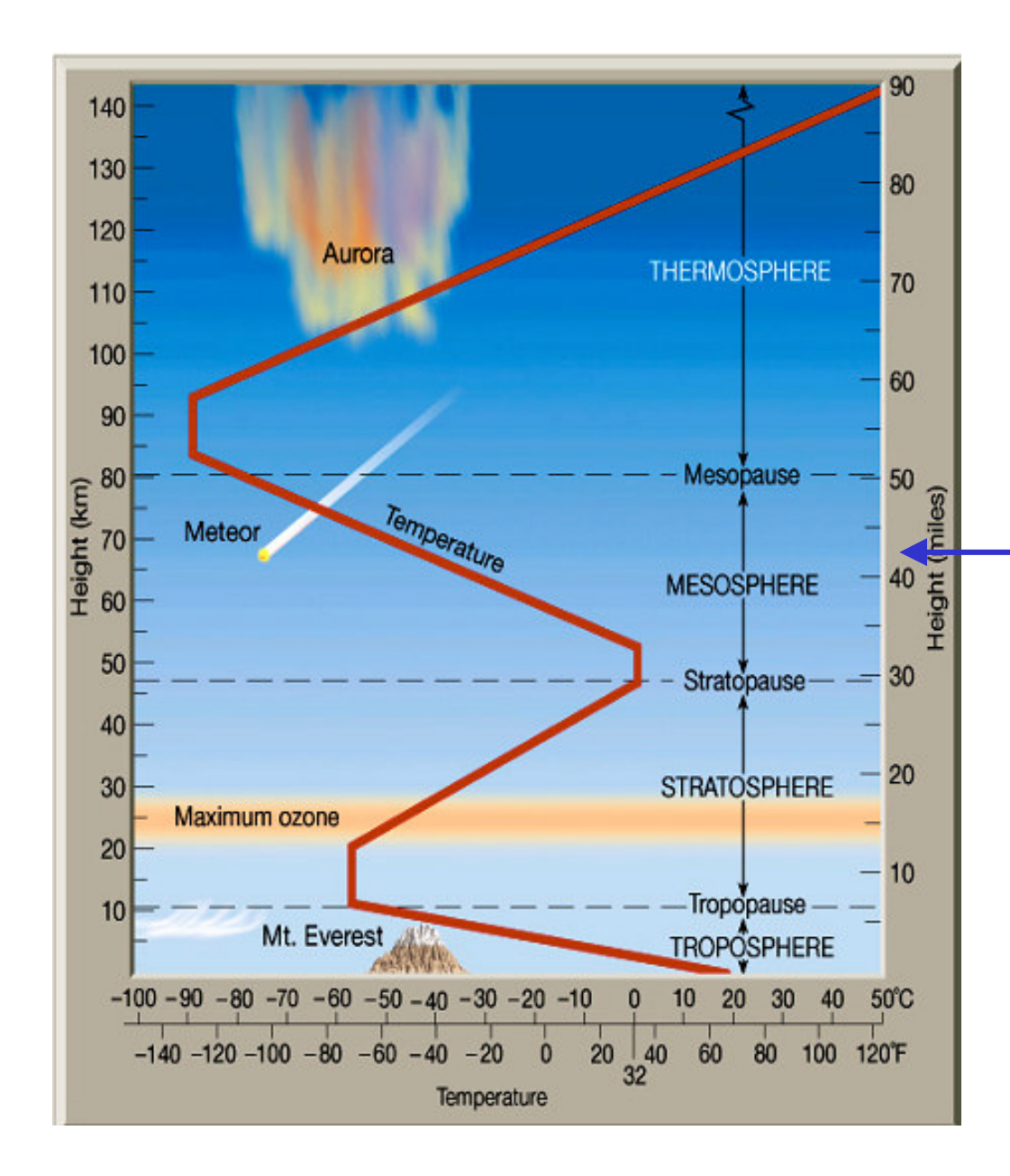


# Estratosfera Ozônio BOM ~ 15 ppm

Troposfera
Ozônio RUIM
~ 0.15 ppm







#### ✓ Mesosfera

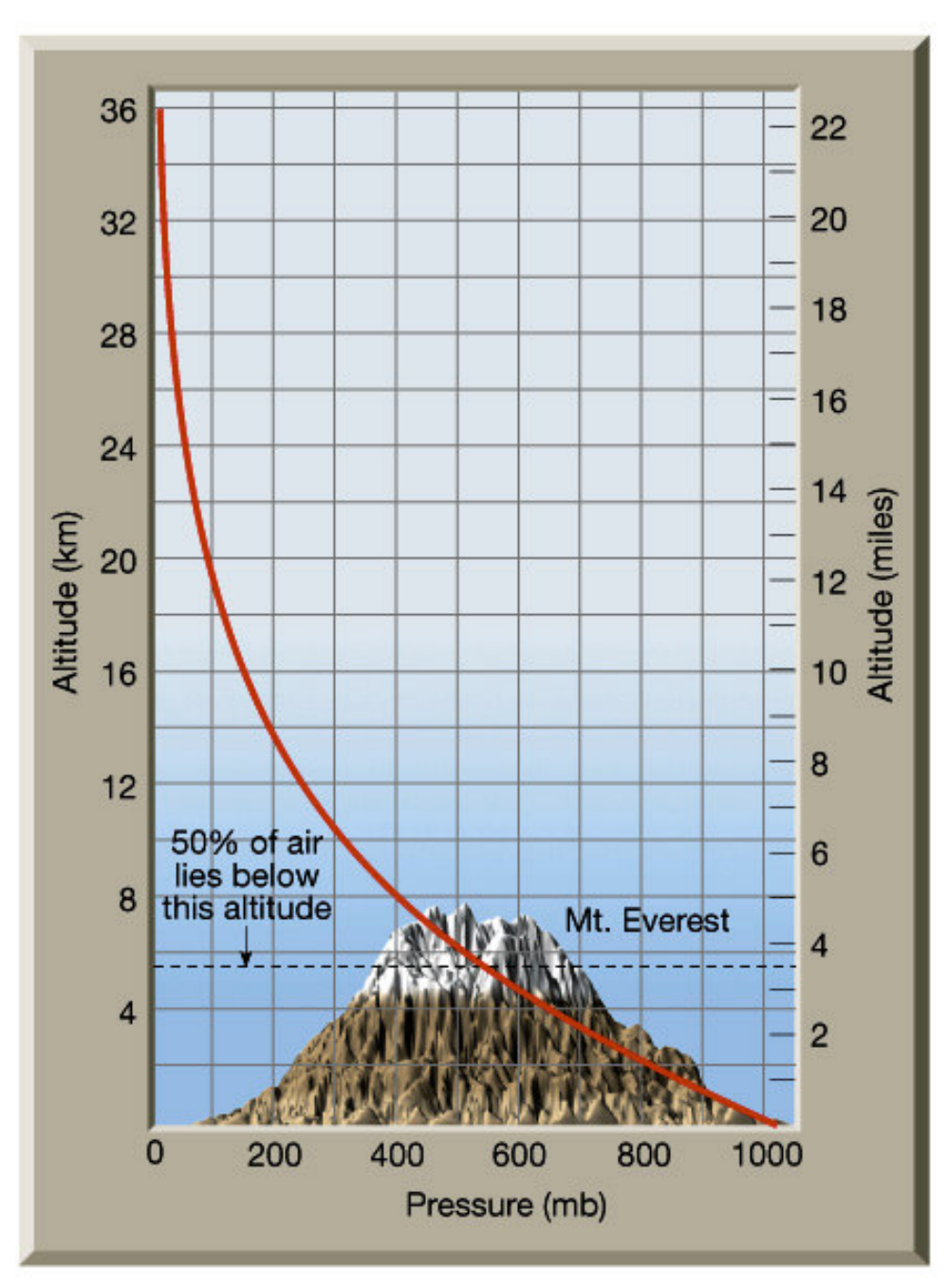
- ✓ é aquecida pela radiação solar a partir da base
- ✓ o calor é dispersado para cima

#### ✓ Termosfera

- ✓ pouquíssima massa
- ✓ poderia atingir temperaturas elevadíssimas pela radiação solar incidente. Porém isto não ocorre! Por que?



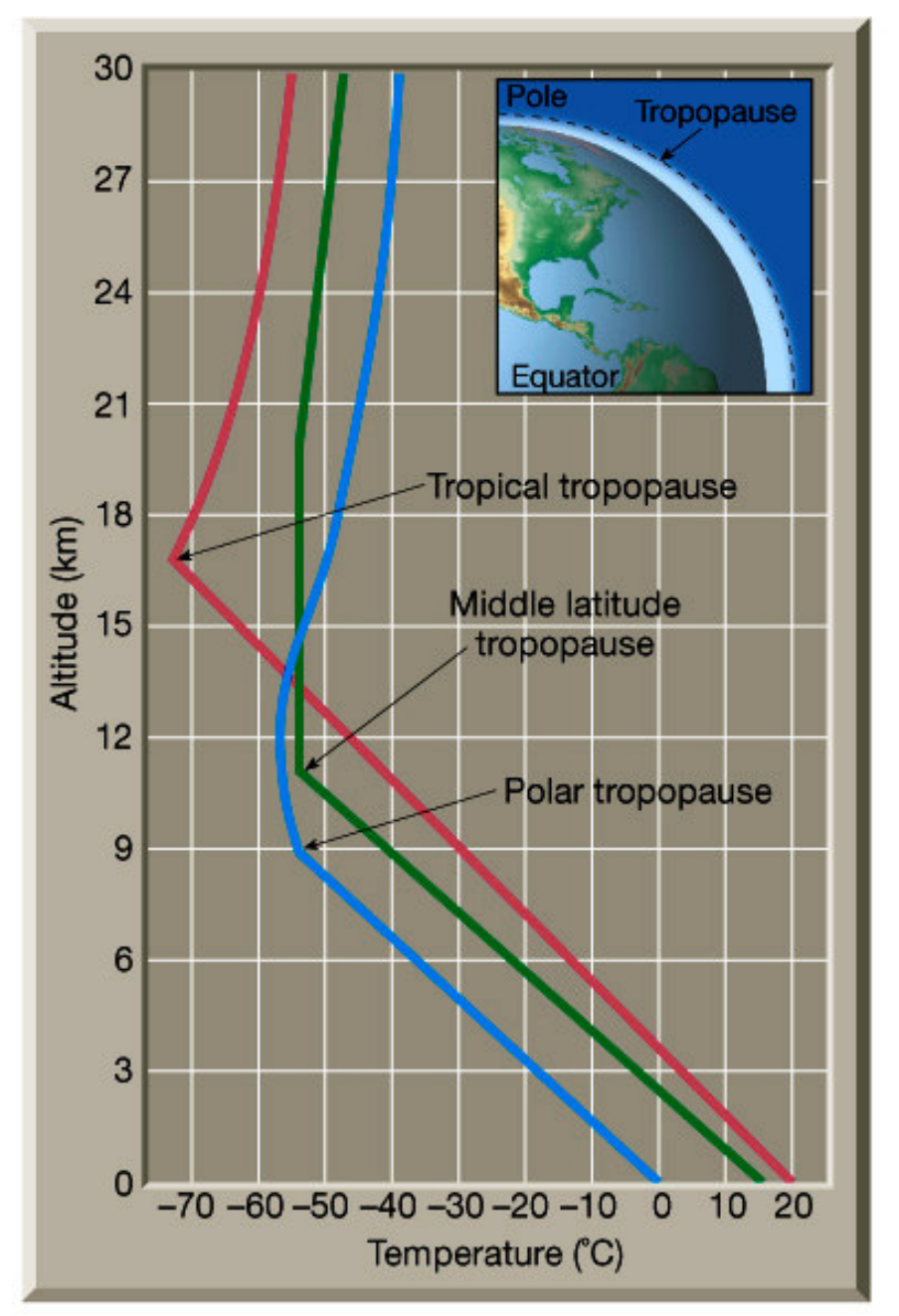




Fonte: Figure 1-17, page 18 in Lutgens and Tarbuck's The Atmosphere, 2001







## Tropopausa varia de acordo com a latitude

#### Equador

~ 40° de latitude

Altas latitudes

http://www.ux1.eiu.edu/~cfjps/1400/atmos\_struct.html





#### Composição Química da Atmosfera

## Substâncias Permanentes (próximas a superfície da Terra)

Substância	Composição	Porcentagem	
	Química	(por volume de ar seco)	
Nitrogênio	$N_2$	78.08	
Oxigênio	O <sub>2</sub>	20.95	
Argônio	Ar	0.93	
Neônio	Ne	0.0018	
Hélio	Не	0.0005	
Hidrogênio	$H_2$	0.00005	
Xenônio	Xe	0.000009	





#### Composição Química da Atmosfera

#### Substâncias Variáveis

(próximas a superfície da Terra)

Substância	Composição Química	Porcentagem (por volume de ar seco)	Ppm (partes por milhão)
Vapor d'água	H <sub>2</sub> O	0 a 4	(parces por minao)
Dióxido de Carbono	$CO_2$	0.035	350
Metano	CH <sub>4</sub>	0.00017	1.7
Oxido Nitroso	N <sub>2</sub> O	0.00003	0.3
Ozônio	$O_3$	0.000004	0.04
Material Particulado	**************************************	0.000001	0.01
Clorofluorcarbono (CFC)		0.0000001	0.0001

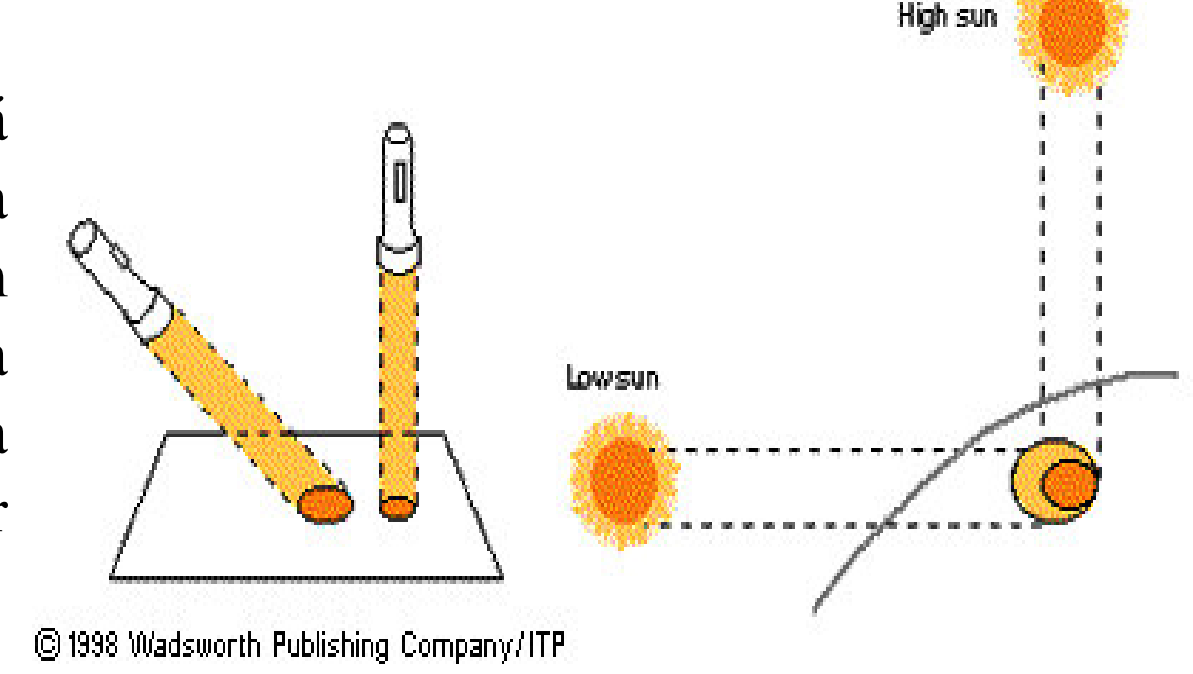
Estas são substâncias responsáveis pelo Efeito Estufa





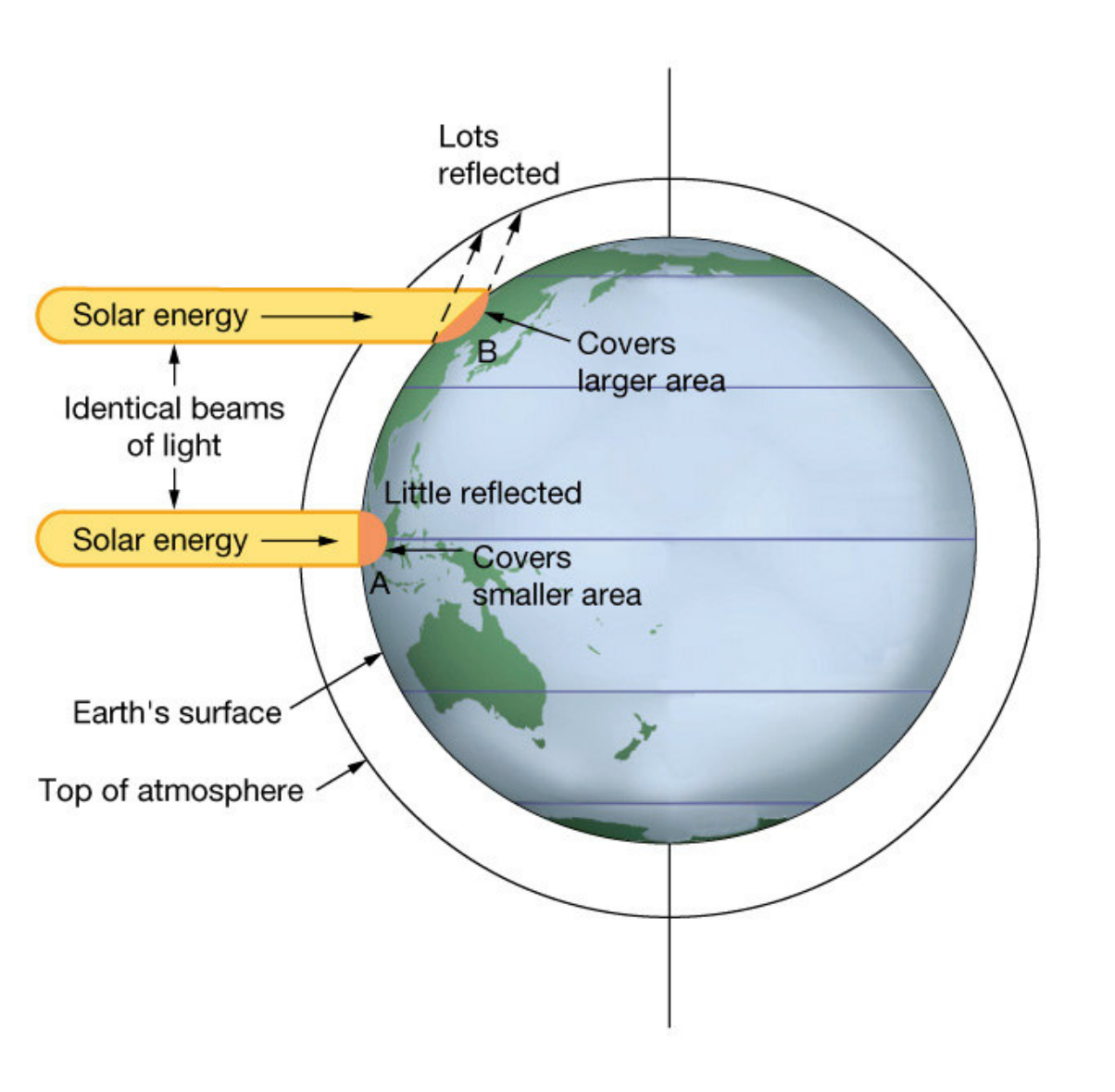
✓ Circulação atmosférica: ocorre porque a Terra recebe quantidades diferentes de calor do Sol, sendo esta quantidade maior no Equador do que nos pólos.

Quando a lanterna está direcionada diretamente para baixo a energia se concentra em uma pequena área. Com a inclinação da lanterna esta mesma energia é distribuída por uma maior área.









Em altas latitudes a quantidade de energia é menor pois a área superfícial em que o feixe de luz se espalha é maior.

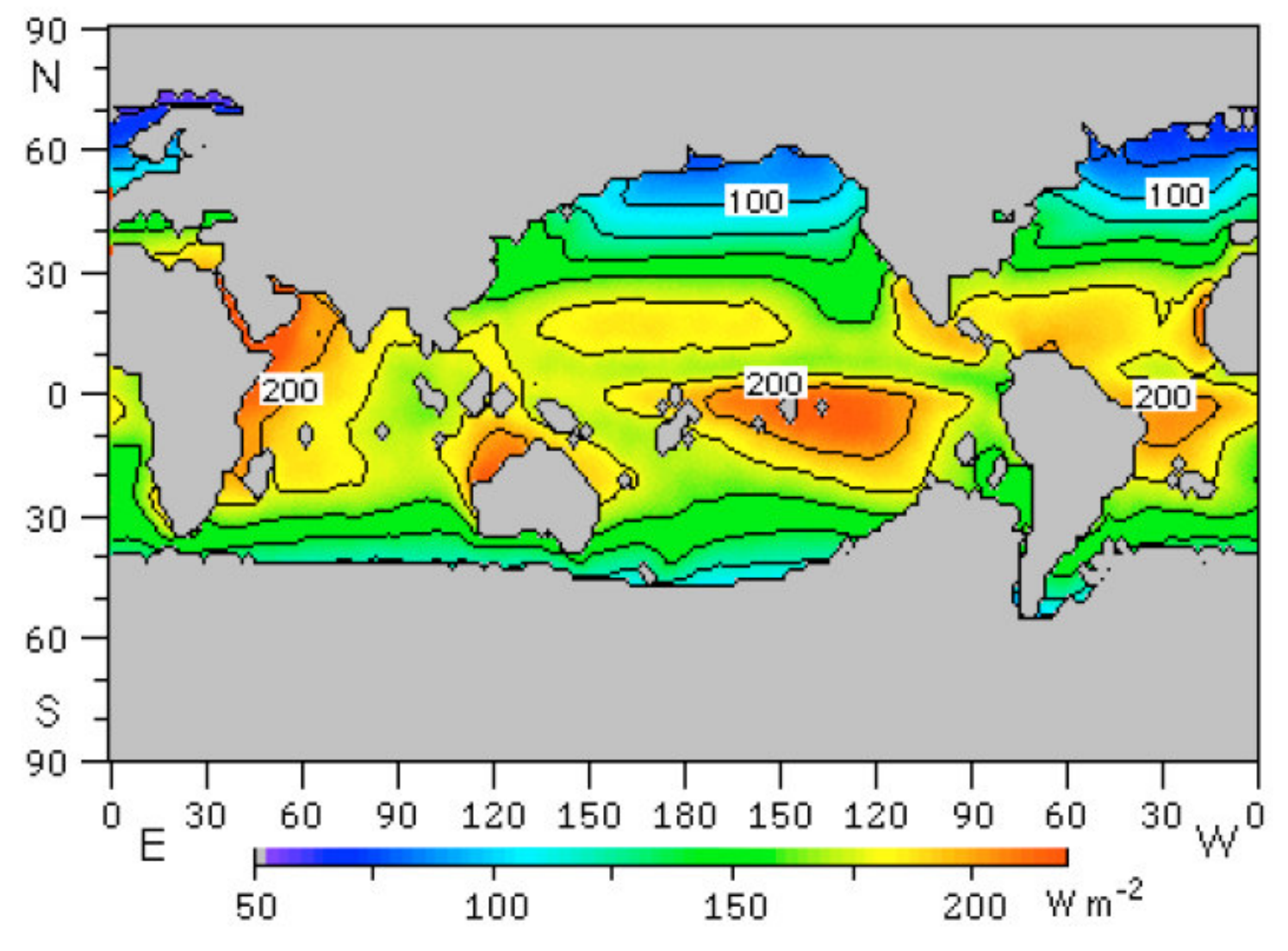
Ocorre também uma maior reflexão da energia solar para a atmosfera.

A energia sofre maior atenuação em altas latitudes por atravessar uma maior camada da atmosfera. (caminho ótico é maior)





Valores médios anuais de radiação solar (Wm<sup>-2</sup>) ao nível do mar. A radiação solar é maior nos trópicos.



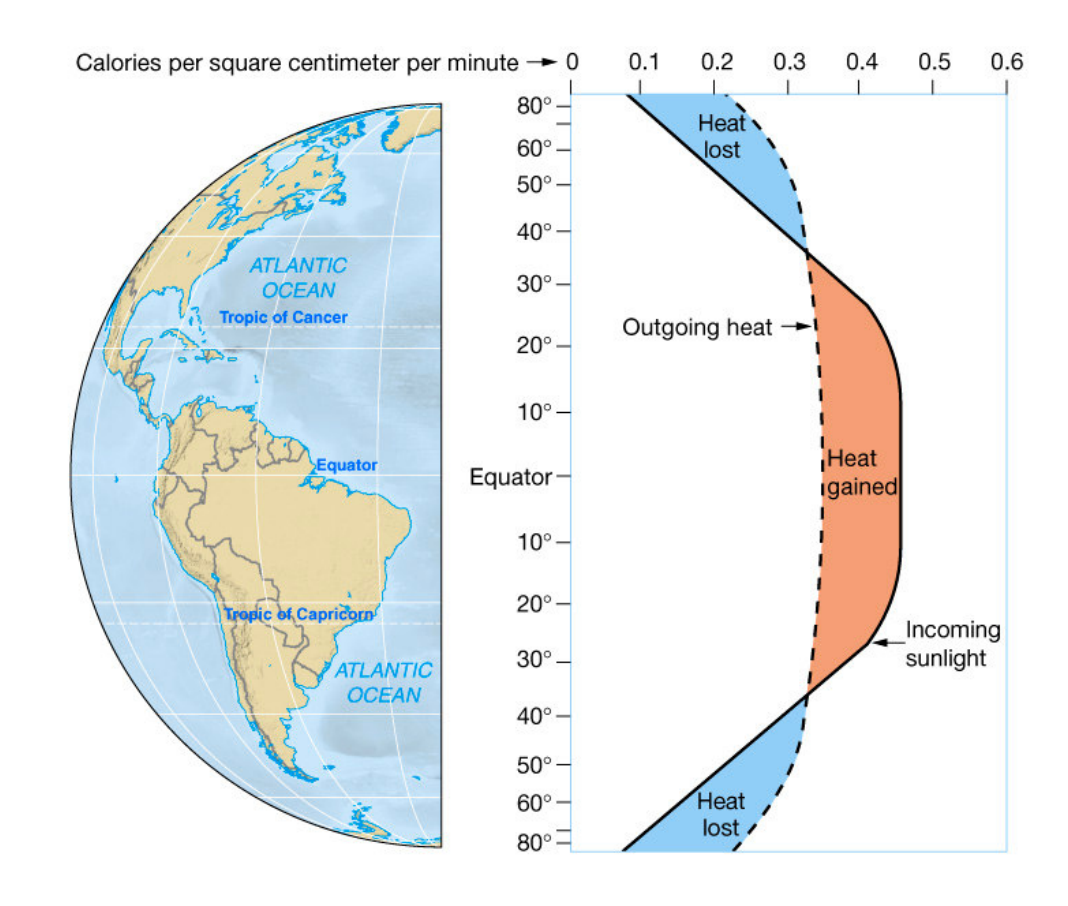




## O resultado é um aquecimento diferenciado do planeta.

A figura representa a quantidade de radiação solar que atinge a atmosfera terrestre (linha cheia) em função da latitude enquanto que a linha pontilhada representa a perda de radiação para o espaço.

As áreas de cores vermelha e azul representam, respectivamente, a quantidade de calor ganho e perdido, onde em torno de 38° de latitude N e S o balanço de radiação passa de positivo para negativo.

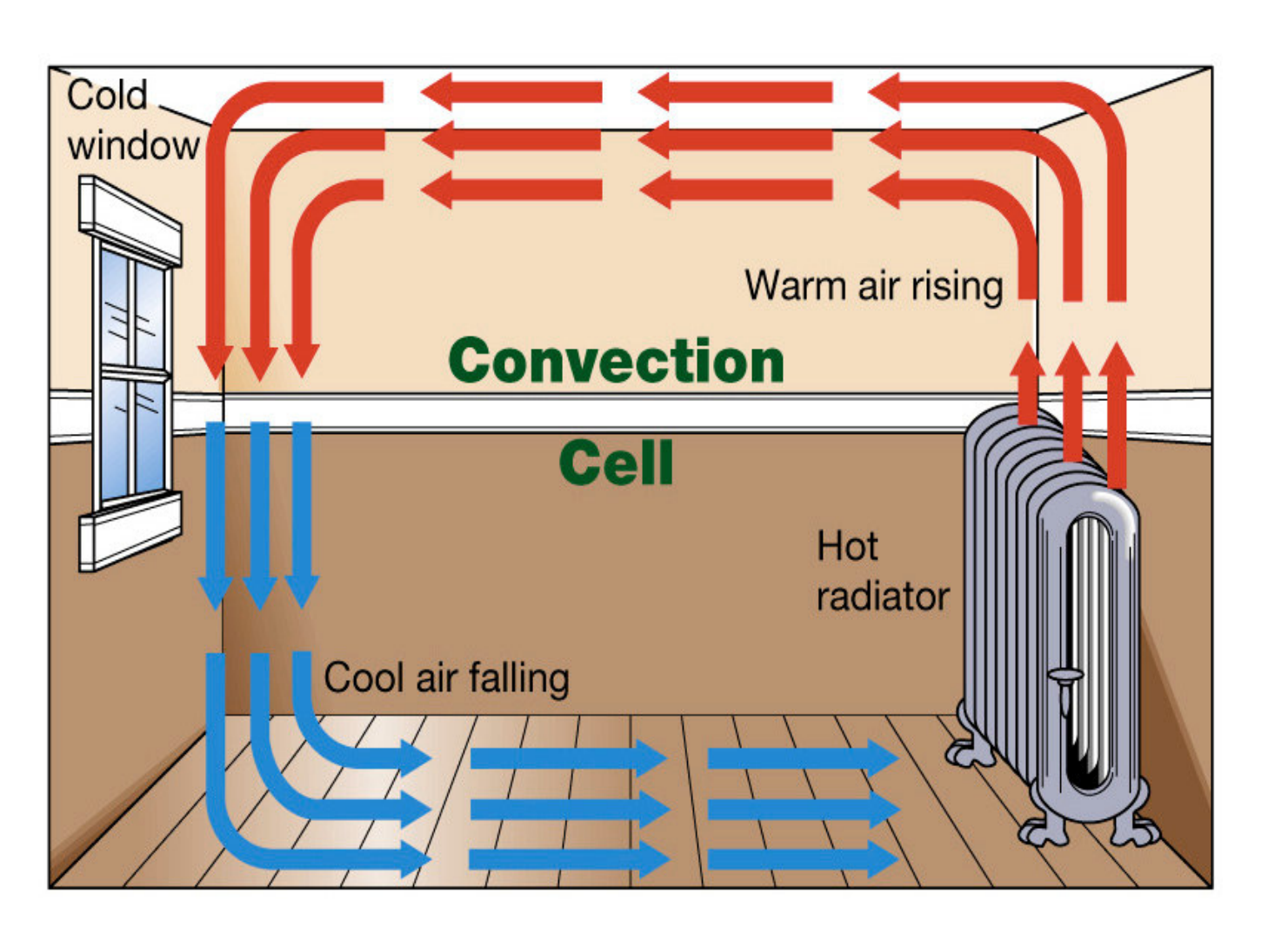






## Célula de Convecção

- ✓ O ar aquecido, menos denso e mais leve, sobe.
- ✓ O ar frio, mais denso e mais pesado, desce.

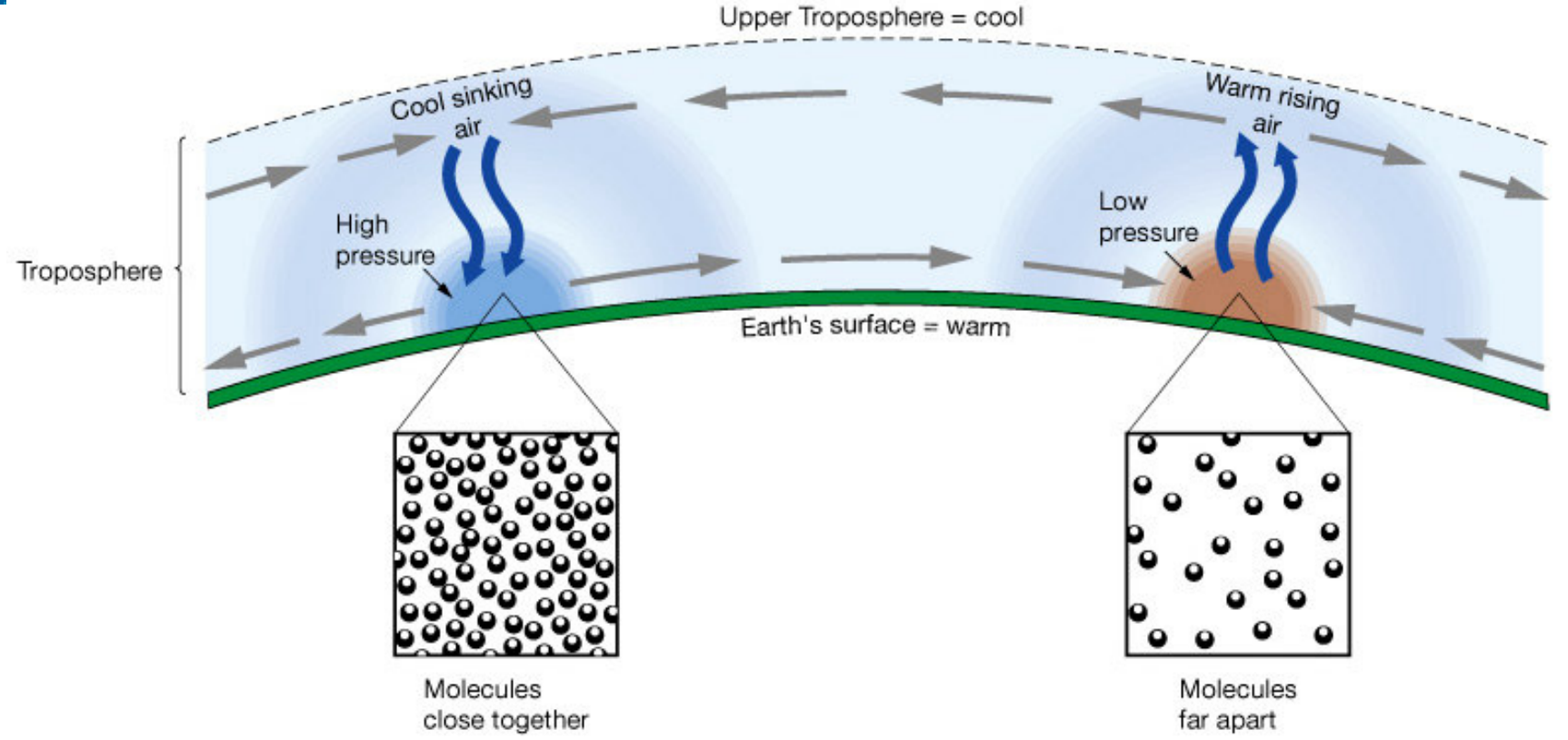


Vemos no exemplo a formação de uma célula de convecção com o movimento circular do ar.



## Balanço de Calor: Célula de Convecção



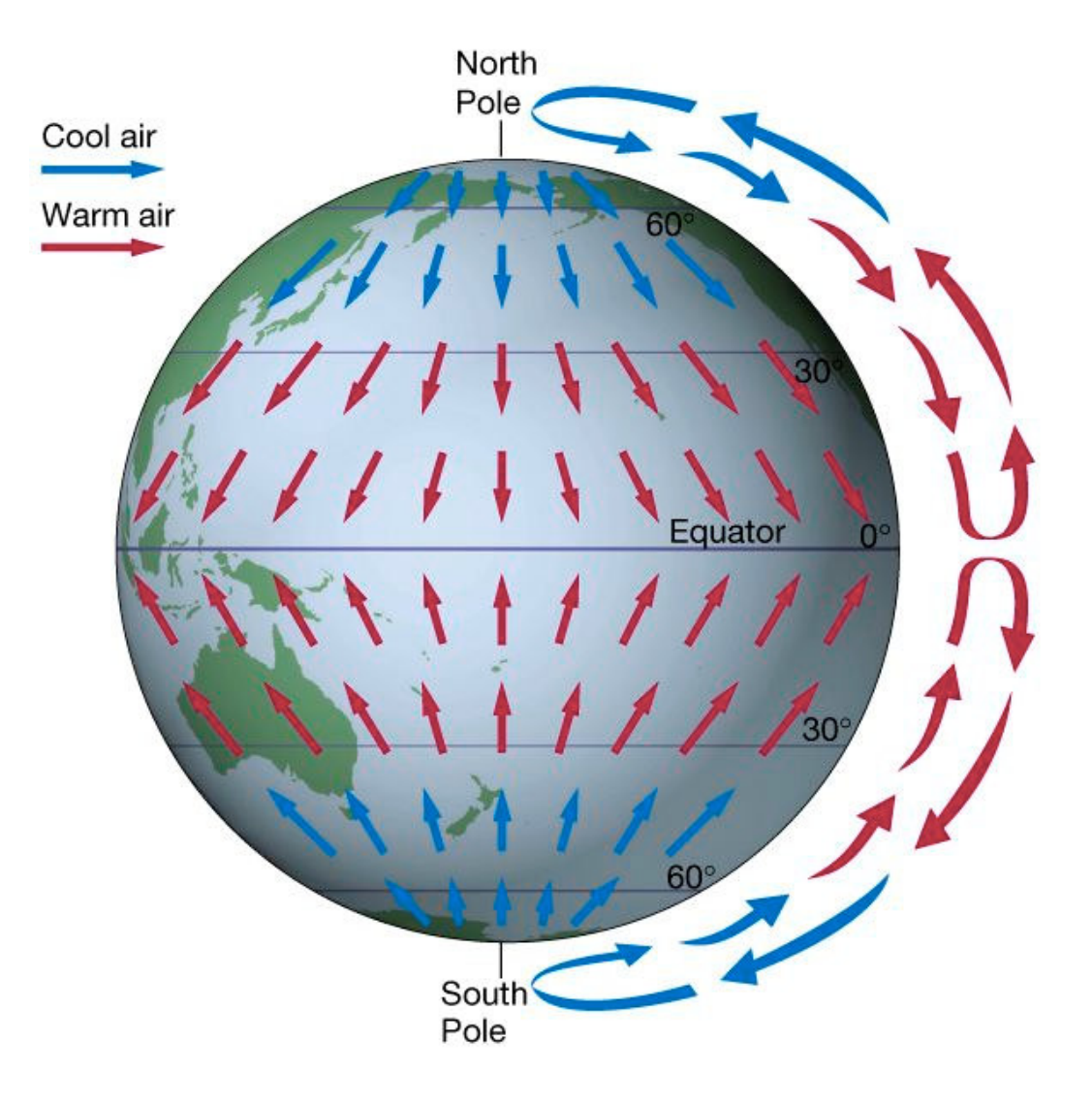


O ar aquecido, menos denso e mais leve, sobe com a formação de baixa pressão na superfície. O ar mais frio e mais denso causa alta pressão em superfície com o ar descendo. O ar se desloca superficialmente da região de alta pressão em direção à região de baixa pressão.



## Balanço de Calor: Célula de Convecção Ci





Se a Terra não girasse em torno de seu eixo de rotação, o ar equatorial mais aquecido subiria e se deslocaria para os pólos. Eventualmente esta alto nível corrente em os pólos, onde atingiria desceria, espalharia-se na superfície e retornaria ao Equador. Quando o ar polar se aproximasse do Equador, mais uma vez se aqueceria e subiria novamente.



## Mas o fato é que a Terra gira!!!



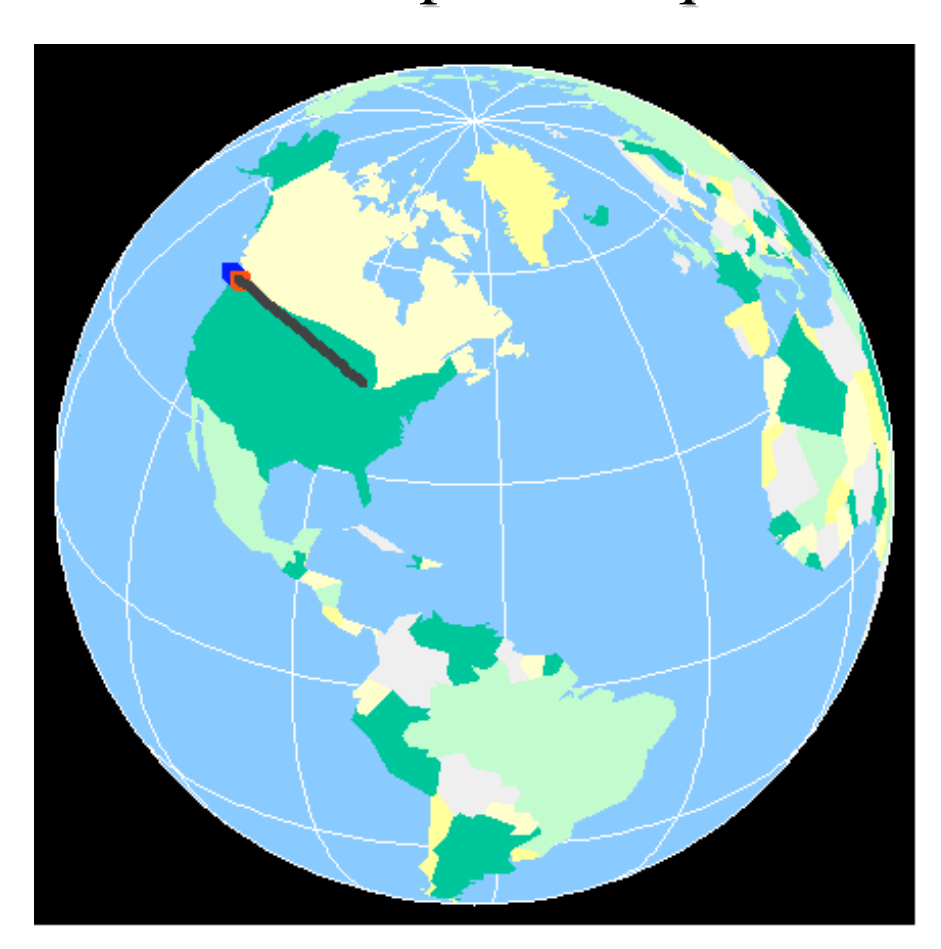
#### O Efeito de Coriolis

- ✓ A Força de Coriolis é proporcional (em magnitude) a velocidade do fluxo e direcionada perpendicularmente ao fluxo
- ✓ Ela age para a esquerda no HS e para a direita no HN
- ✓ O parâmetro de Coriolis (f) é máximo nos pólos e nulo na região equatorial

$$f = 2\Omega sen\varphi$$

 $\Omega = 7,29 \text{ x } 10^{-5} \text{ s}^{-1} \text{ \'e a velocidade}$  angular da Terra e  $\phi$   $\hat{e}$  a latitude

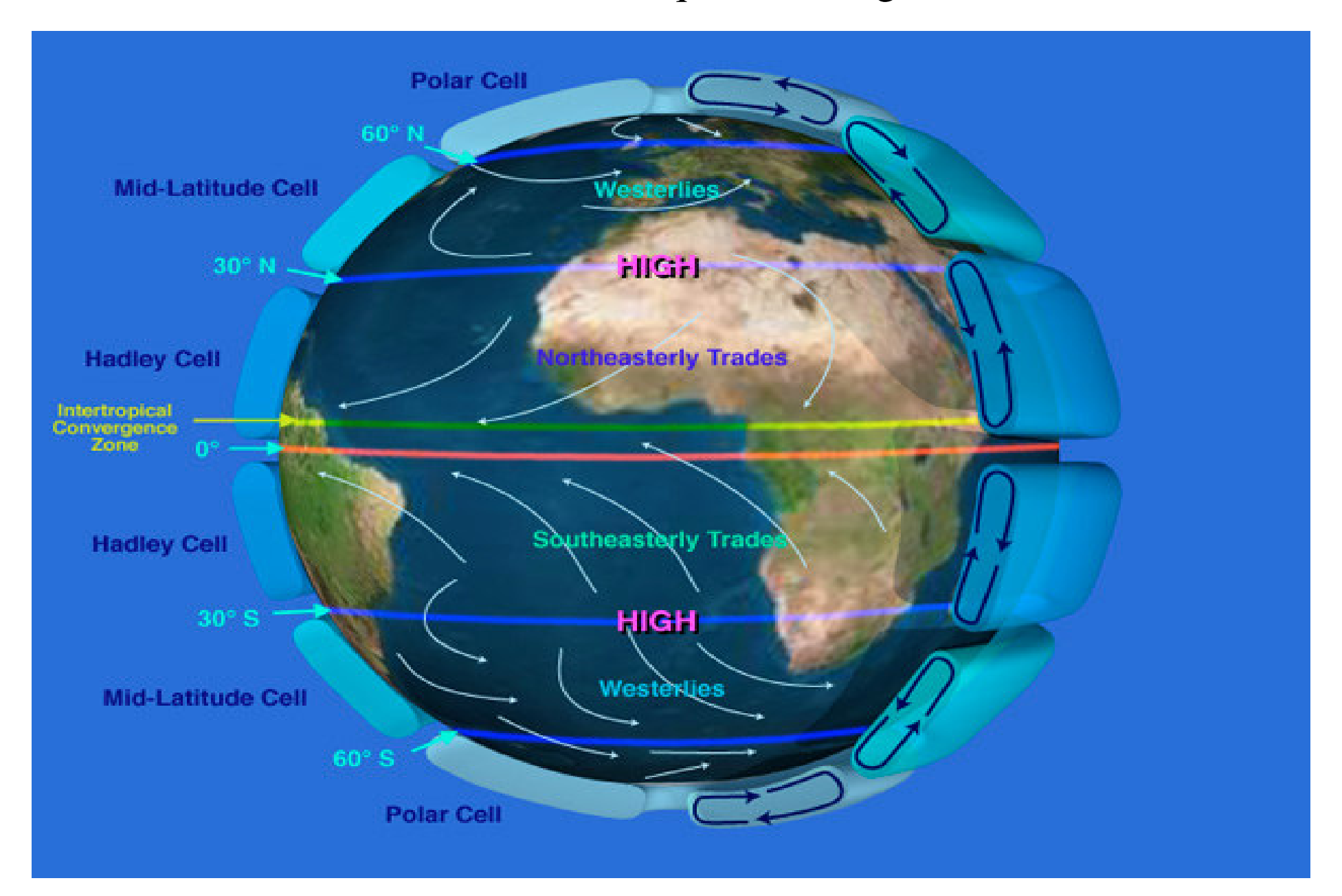
HN: deflete para a direita HS: deflete para a esquerda







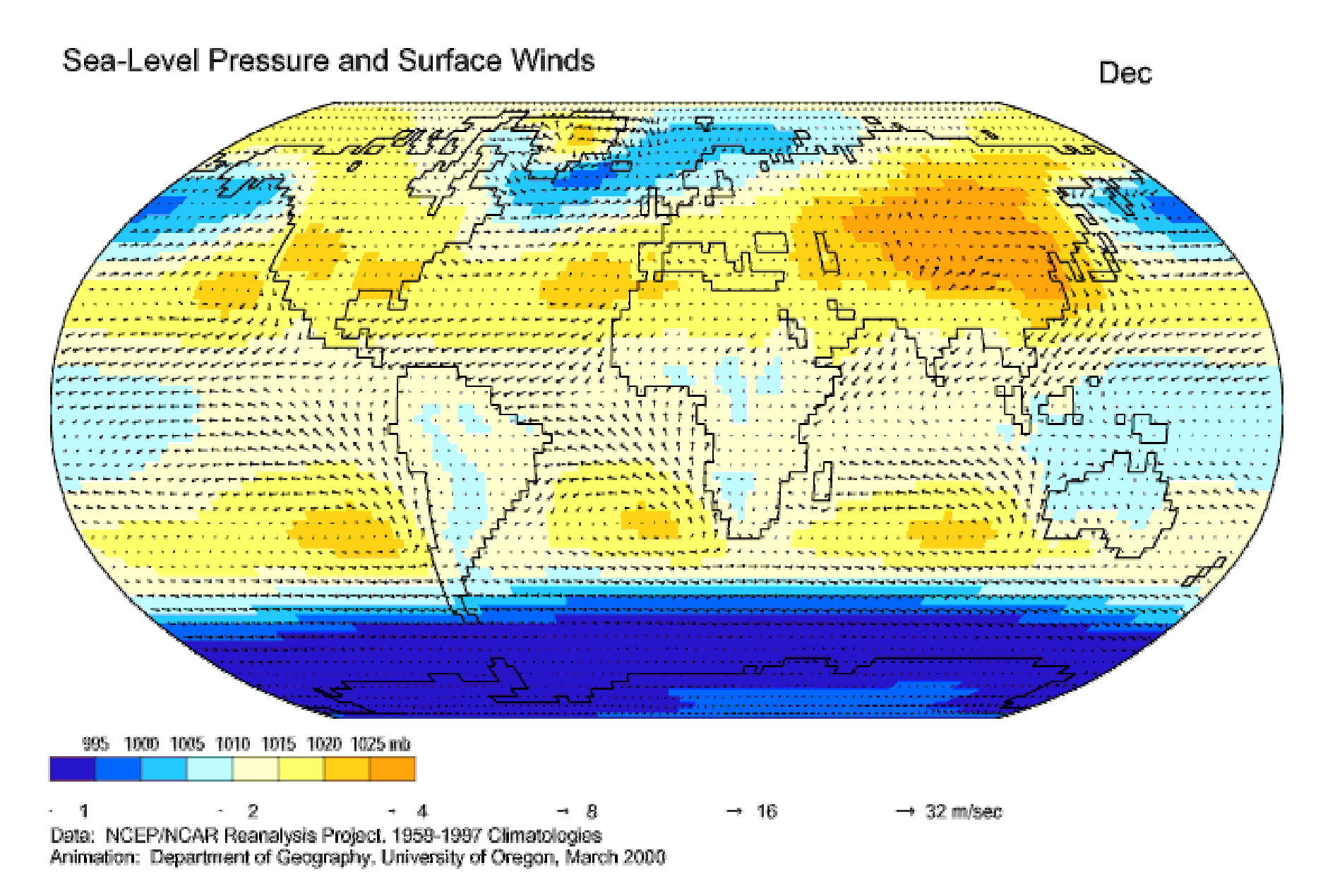
Mas o fato é que a Terra gira!!!





## O ciclo anual dos ventos a superfície

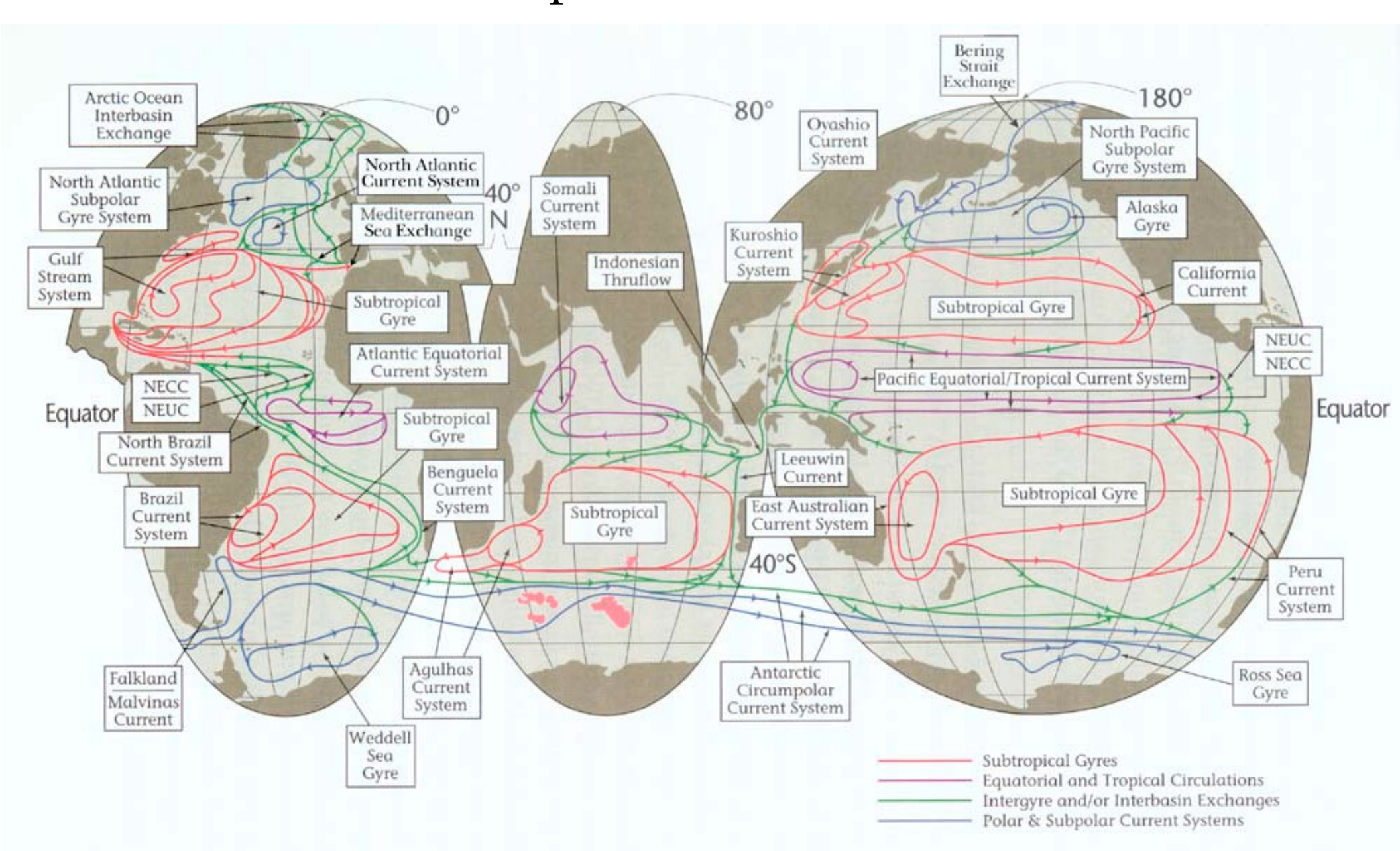






## A circulação Atmosférica gera as correntes superficiais nos oceanos....









#### Transferência de Calor na Interface Ar-Mar

- ✓o calor entra no oceano através da superfície do mar (exceto 1/10 que entra pelo fundo do oceano vindo do centro da terra)
- ✓ o oceano está em equilíbrio, não muda com o tempo (aproximadamente) então calor entrando no oceano = calor saindo do oceano.
- ✓ maiores fontes e sumidouros de calor da Terra, e conseqüentemente do oceano são:

 $Q_s = \text{Radiação Solar}$  (ondas curtas)

 $Q_b$  = Radiação Terrestre (ondas longas)

 $Q_{e}$  = Calor Latente (evaporação)

 $Q_h$  = Calor Sensível (condução)

 $Q_{\tau}$  = Ganho de Calor (razão de ganho ou perda de calor pela superfície)

 $Q_v$  = Advecção de Calor (pelas correntes oceânicas)

Estado de Equilíbrio então implica que globalmente:

$$Q_s = Q_b + Q_e + Q_h$$

 $Q_v$  e  $Q_T$  A média global destes termos é zero!!!





Porque  $Q_y$  e  $Q_T$  não precisam estar em balanço localmente e tem média global zero?

 $Q_{\scriptscriptstyle T}$  armazena e libera calor através da superfície, então









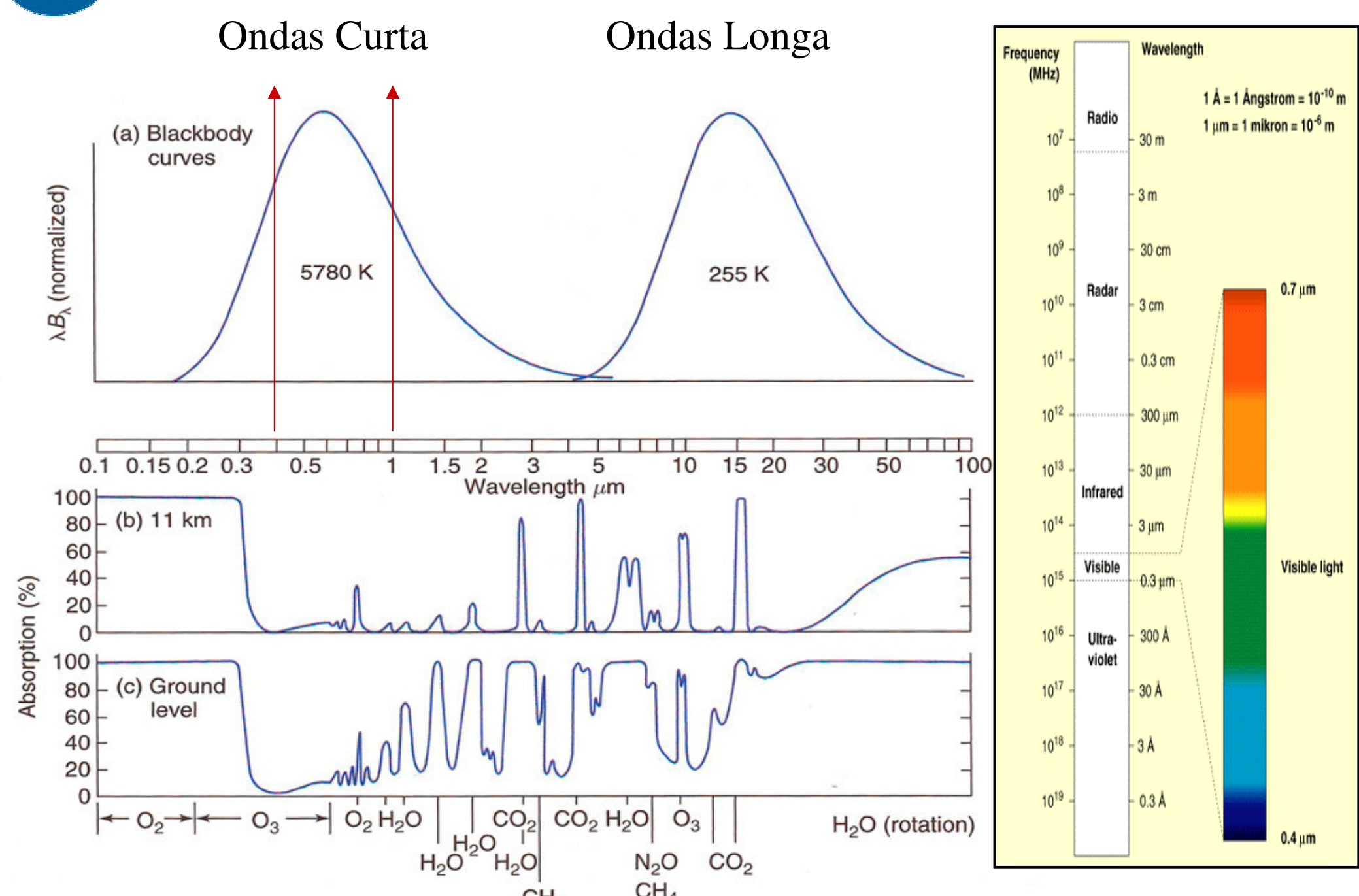
$$Q_T = Q_s - Q_b - Q_e - Q_h - Q_v$$

Agora, vamos revisar algumas Leis e conceitos da Radiação...



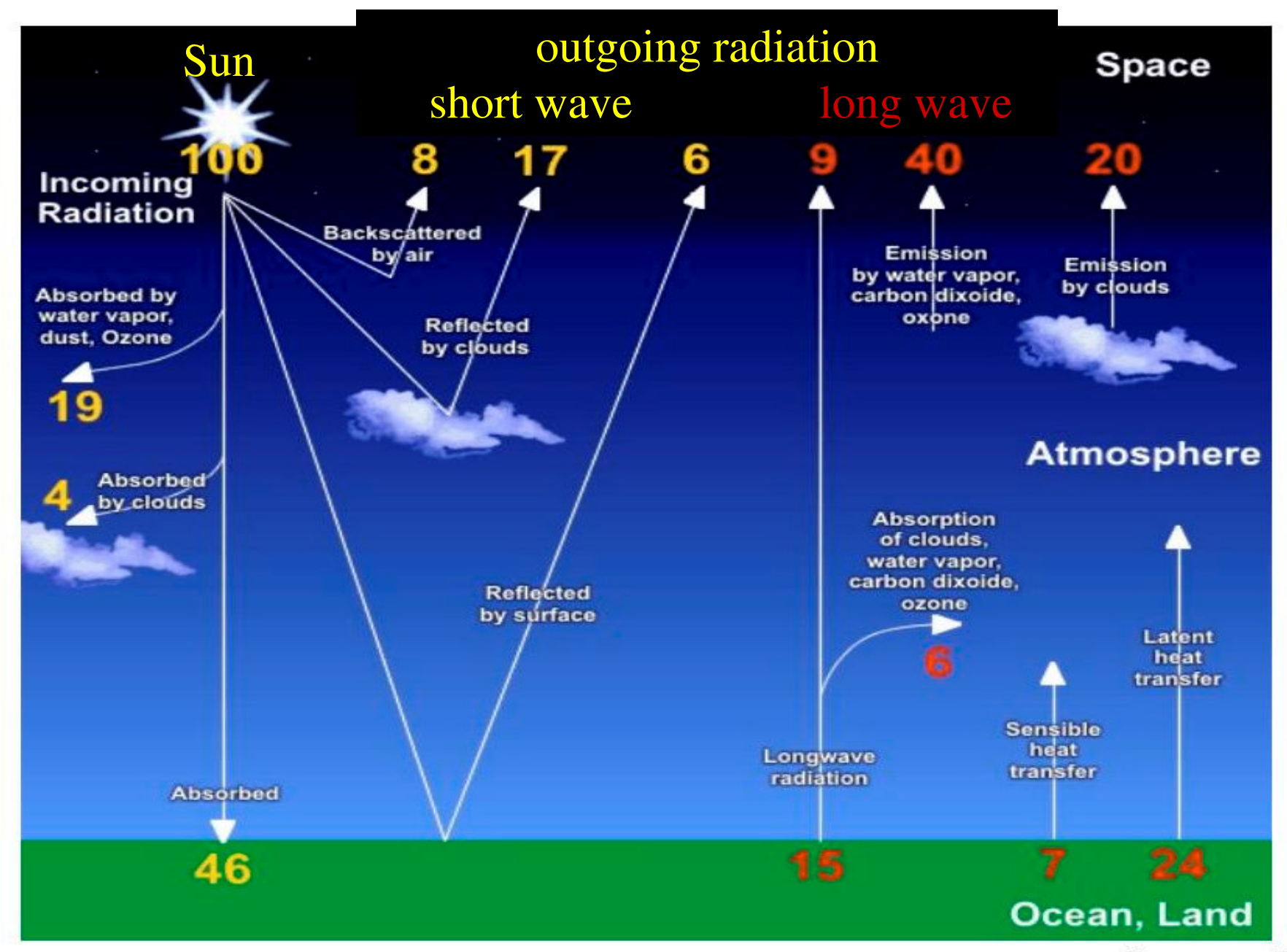
### Absorção atmosférica seletiva











Source: NOAA





Somente parte da radiação recebida na parte superior da Atmosfera chega ate os oceanos (superfície terrestre). Se normalizarmos a radiação que chega pôr 100 % (ou 100 unidades), então temos:

- 23% É absorvida pela própria atmosfera
- 17% É refletida pelas nuvens, vapor d'água, aerossóis e outros elementos
  - 8% É re-irradiado de volta para o espaço
  - 6% São refletidos pela superfície terrestre (principalmente pelos oceanos)

Então, 29% retorna para o espaço, enquanto 46% é disponibilizado como energia. (O equivalente a 23% é armazenado na atmosfera e eventualmente disponibilizado)





Voltando ao Balanço de Radiação no Planeta....









$$Q_T = Q_s - Q_b - Q_e - Q_h - Q_v$$

Se pensarmos em termos "Global" a razão de aquecimento (ou resfriamento) por um longo período de tempo ....

$$\frac{\partial Q_T}{\partial t} = 0$$

Caso contrário...
algo não vai bem no Planeta!!

Agora vamos olhar individualmente os termos do Balanço de Radiação!



## Energia da Radiação Solar (ondas curtas), Q





$$Q=c_{\rm s}\,K^4$$

Lei de Stefan-Boltzman

where 
$$c_s = 5.6707 \times 10^{-8} \text{ W m}^{-2} \text{ K}^{-4}$$

A emissão com o máximo comprimento de onda e dado por

$$\lambda_{\text{max}} = \frac{c_{\text{w}}}{K}$$

(Lei de Wien)

onde 
$$c_{\rm w} = 2.8978 \times 10^6 \, \rm nm \, K$$

Para o Sol, 
$$K = 5780$$
K

então 
$$\lambda_{\text{max}} = 501 \text{ nm}$$
.

$$(\sim 0.5 \ \mu m)$$

or 
$$0.5 \times 10^{-6} \text{ m}$$

Então, no topo da atmosfera a irradiância solar De acordo com a Lei de Stefan-Boltzmann é:

$$s = 1.487 \text{ kW m}^{-2}$$



## Energia da Radiação Solar (ondas curtas), $Q_s$





$$s = c_{\rm s} K^4 \frac{R_{\rm s}^2}{R_{\rm es}^2}$$

where 
$$R_s$$
 = radius of sun  
=  $6.96 \times 10^8$  m

and  $R_{es} = 1.49598 \times 10^{11} \,\mathrm{m} = 1 \,\mathrm{dist}$ ância astronômica = dist. Sol-Terra

Mas o sol é um corpo cinza, não negro, e na realidade a irradiância solar no topo da atmosfera é  $s = 1.360 \text{ kW m}^{-2}$  a energia total recebida na Terra é  $\pi R_e^2 s$  mas a área da superfície da Terra é  $4 \pi R_{\rm c}^2$ . Então o total que chega em média é de 340 W/m², mas parte da energia é refletida de volta para o espaço (~30%). O valor médio absorvido pela Terra (incluindo a atmosfera) é de 241 W/m<sup>2</sup>.



✓ A radiação máxima é de 500 nm ou 0.5 μm (ondas curtas),

49 % da energia está no espectro do visível,  $\lambda = 400$  a 700 nm ou 0.4 a 0.7  $\mu$ m.

9 % da energia esta no ultravioleta

42 % da energia no infravermelho

100 %

✓ 99% de toda a energia tem  $\lambda$  < 4000 nm (4  $\mu$ m)

 $1 \mu m = 10^{-6} m$ ,  $1 nm = 10^{-9} m$ 



## Energia da Radiação Solar (ondas curtas), $Q_s$





#### Radiação Solar varia com a estação do ano



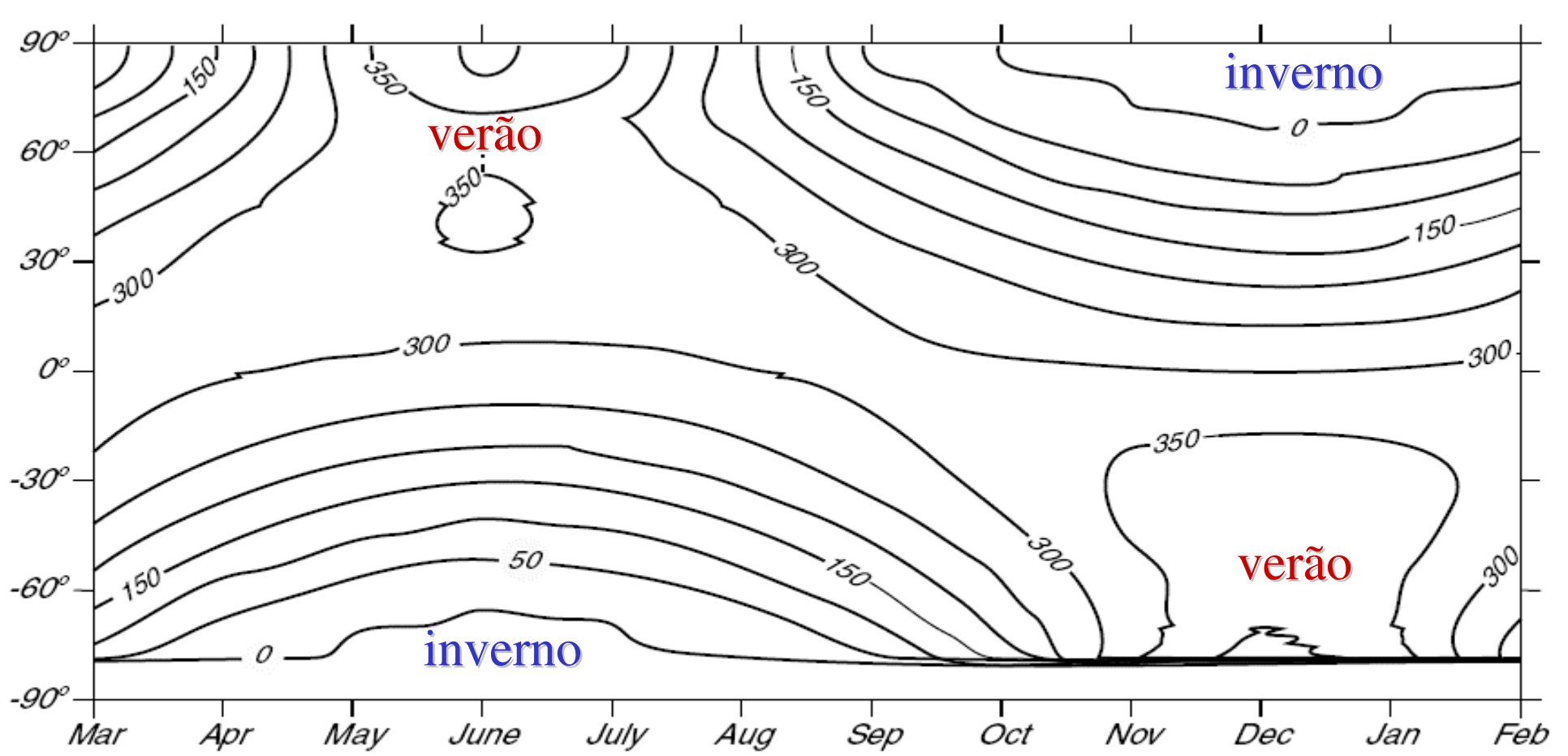


Figure 5.3 Monthly average of downward flux of sunlight through a cloud-free sky and into the ocean in W/m<sup>2</sup> during 1989 calculated by the Satellite Data Analysis Center at the NASA Langley Research Center (Darnell et al. 1992) using data from the International Satellite Cloud Climatology Project.



## Energia da Radiação Solar (ondas curtas), $Q_{s}$





- ✓ Na atmosfera a energia radiante é espalhada (se torna radiação difusa) e também absorvida,
- ✓ Aproximadamente 50% atinge a superfície da terra.

#### **Espalhamento (ou Scattering)**

- ✓O espalhamento ocorre no interior da atmosfera devida a interação com as moléculas, aerossóis, poeira, vapor d'água. A seleção é feita de acordo com o comprimento de onda.
- ✓ Espalhamento de **Rayleigh é proporcional a**  $\lambda^{-4}$  (espa.=1/ $\lambda^{4}$ ). Por exemplo, o espalhamento do Azul ( $\lambda$ =400nm) é ~10 vezes mais eficiente que o Vermelho ( $\lambda$ =700nm). Por este motivo o céu e Azul!! Similar efeito é visto no oceano profundo onde o azul prevalece comparado a águas costeiras onde o verde e o cinza predominam.
- ✓O maior fator que influência Qs é a cobertura de nuvens, normalmente elas bloqueiam ~25% (mas podem chegar a 80%)

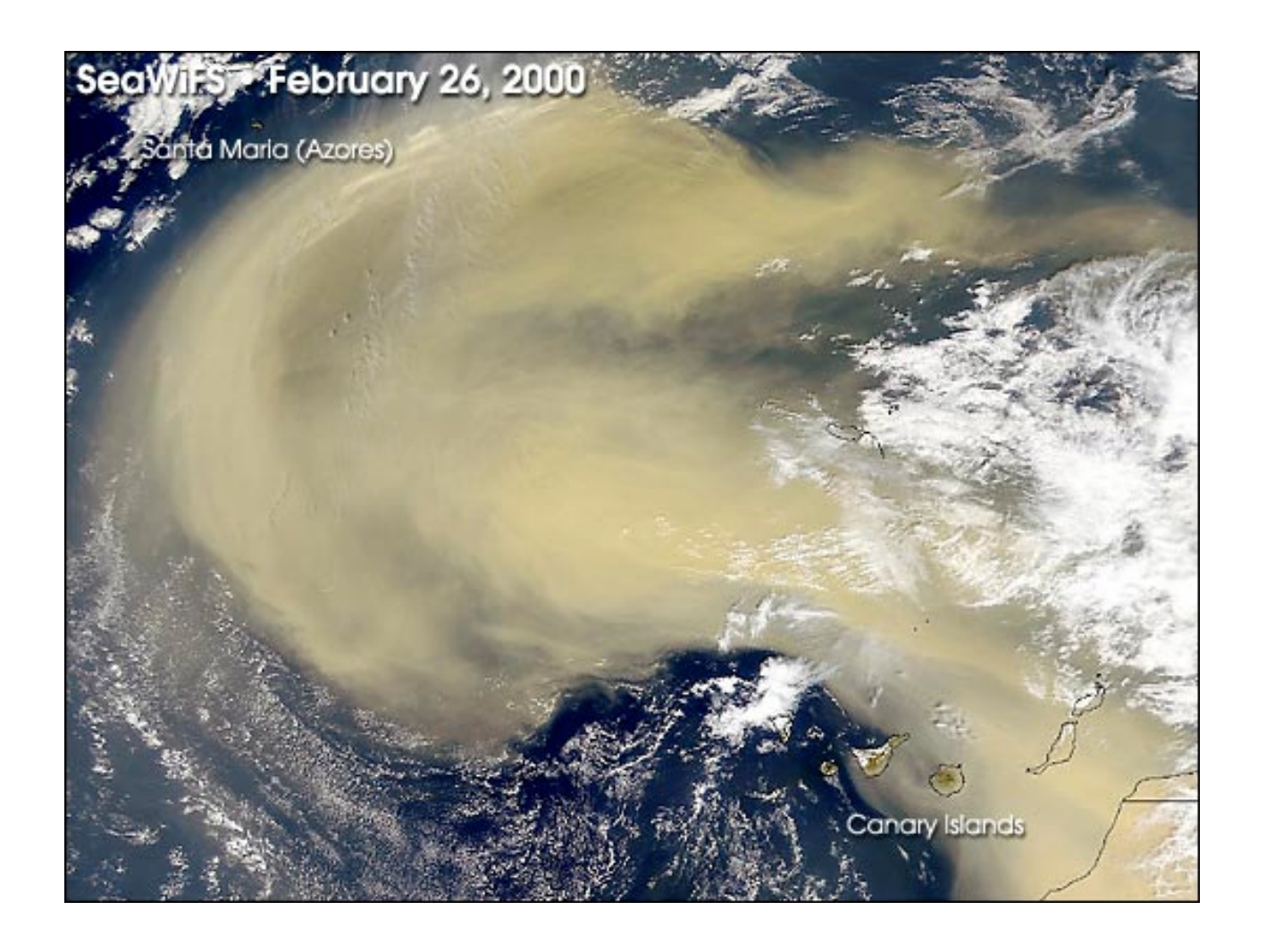


## Energia da Radiação Solar (ondas curtas),





Espalhamento: ocorre pela presença de partículas espalhadoras como aerossóis (gotas d'água, fuligem de carbono, emissões vulcânicas incluindo micro-partículas à base de sílica e ácidos, poeira ou areia etc)



Nuvem de poeira (areia) saindo da África e viajando sobre o Atlântico



## Energia da Radiação Solar (ondas curtas),





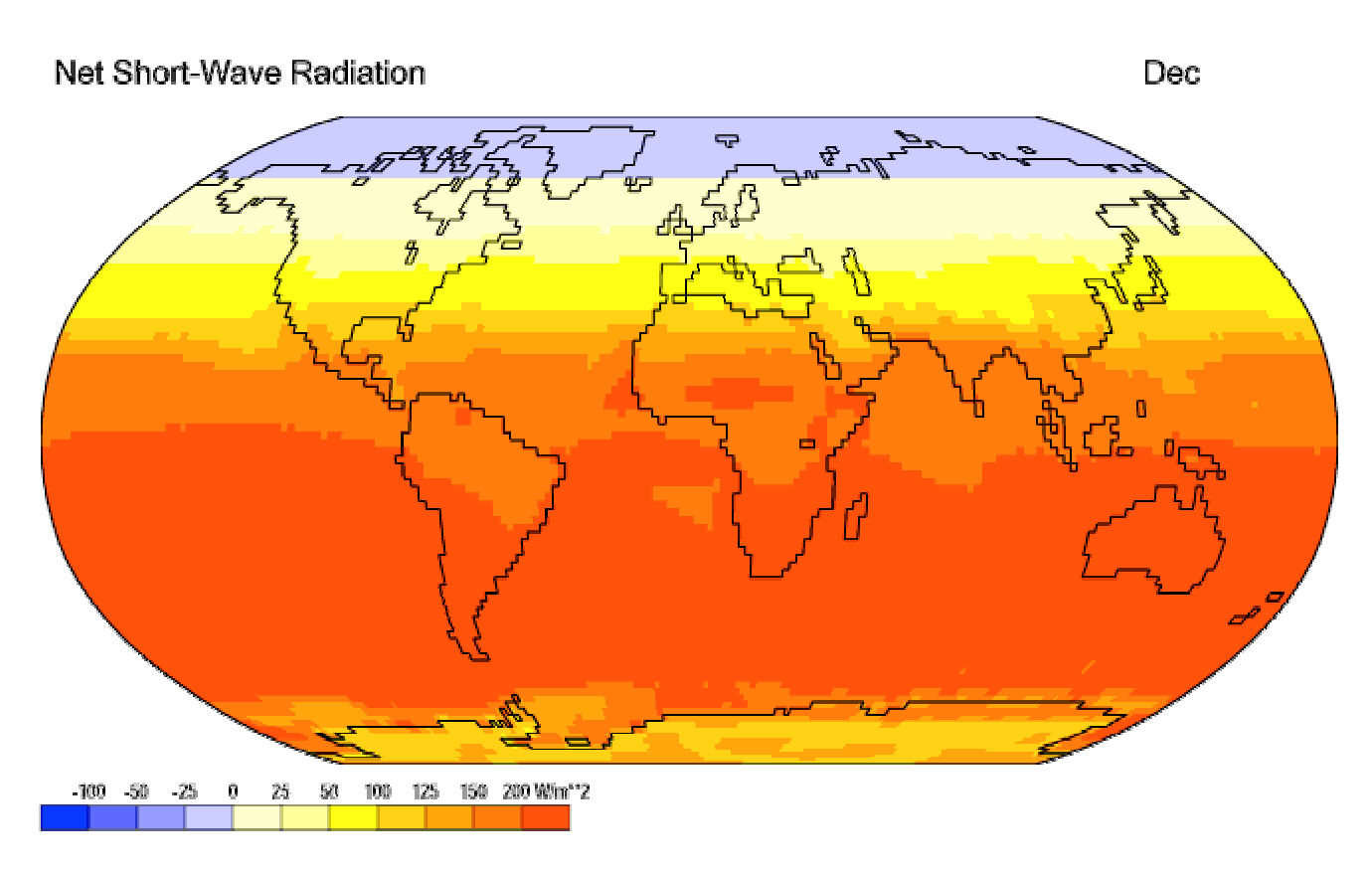
**Albedo,** é a porcentagem da radiação solar  $Q_s$  que é refletida por uma superfície. Como ela é refletida, ela tem o mesmo comprimento de onda da radiação incidente  $(Q_s)$  ou seja, radiação de onda curta.

- ✓ Valores típicos para o oceano Mínimo ~3%, médio ~6% e máximo ~30%
- ✓ Valores típicos para o gelo ~30 a 40%
- ✓ Valores típicos para a neve 90% (Altíssimo!!!)
- O Albedo varia com a estação do ano:
- ✓ Aumenta no inverno do HN devido ao aumento da cobertura de neve.
- ✓ Aumenta no inverno do HS devido ao aumento do cobertura de gelo (Ex: Antártica)
- ✓ A entrada de radiação é maior nos trópicos do que nos pólos, e o desbalanceamento é acentuado pelo alto Albedo encontrado nas altas latitudes
- ✓ A energia refletida (Albedo) em alguns casos é chamada de  $Q_{r,}$ ,
- ✓ **cuidado** para não confundir Albedo com Radiação Terrestre ( $Q_b$ ) (ou *Back Radiation*), que é a radiação de onda longa emitida para o espaço.



### Radiação de ondas curtas na superfície





Data: NCEP/NCAR Reanalysis Project, 1959-1997 Climatologies Animation: Department of Geography, University of Oregon, March 2000



## Radiação Terrestre (ondas longas), $Q_{b}$





#### Todo corpo com temperatura acima de zero absoluto irradia energia (calor)!

- ✓ A temperatura média da superfície da Terra é T<sub>e</sub>= 288K (15°C)
- ✓ Usando-se a Lei de Wien,  $λ_{max}$  ~10.100nm = 10.1 μm (onda longa) Infra-vermelho
- ✓ Lembrem que o Sol tem  $\lambda_{max}$  ~ 500nm = 0.5 µm (onda curta)
- ✓ Da lei de Stefan-Boltzmann,  $(Q_b=c_sK^4)$ ,  $Q_b$  da Terra ~ 400 W.m<sup>-2</sup>, e comparando este valor com a média recebida pela Terra ~ 240 W.m<sup>-2</sup>...
- ✓O valor emitido e quase o dobro do recebido!

Se o valor da Radiação Terrestre (Q<sub>b</sub>) e quase o dobro da Radiação Solar (Q<sub>c</sub>) por quê os oceanos (ou os continentes) não perdem todo o calor?

Resposta: Nuvens, vapor d'água, absorvem energia e então re-irradiam parte Efeito Estufa desta energia para a Terra.

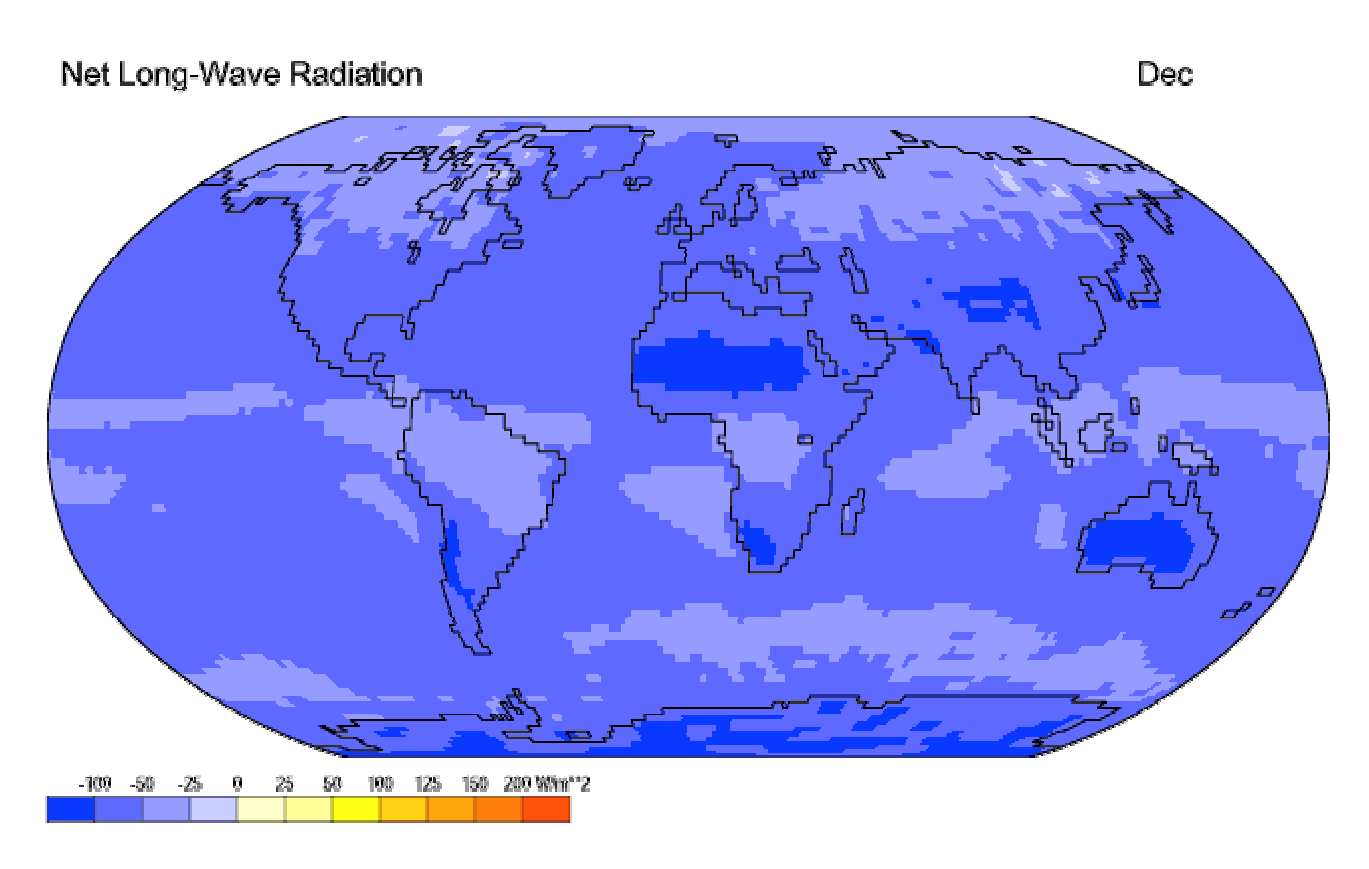
O termo mais útil não é a radiação terrestre e sim a Radiação Terrestre Efetiva, que é definida como a radiação liquida de onda longa perdida pela superfície para o espaço.

Valores típicos variam de 40 a 60 W.m<sup>-2</sup>



### Radiação de ondas longas na superfície





Data: NCEP/NCAR Reanalysis Project, 1959-1997 Climatologies Animation: Department of Geography, University of Oregon, March 2000



# Evaporação (Calor Latente de Evaporação), $Q_{_{\varrho}}$





$$Q_e = F_e L_t$$
, onde

- ✓L, é o calor Latente de evaporação
  - O calor latente para evaporar a água salgada varia em função da temperatura e salinidade. Para evaporar 1 Kg de água são necessários ~2.453 x 10<sup>6</sup> J (Joules) a 20°C
- ✓F<sub>e</sub> é a razão de evaporação da água, em unidades de Kg.s<sup>-1</sup> pôr m<sup>2</sup> da superfície do mar. na média o oceano perde ~1.26m de água pôr ano. Isto corresponde a um valor típico de Q<sub>e</sub> de 83 a 120 W.m<sup>-2</sup> nos trópicos. Este é o maior dos três termos de perda de calor!!
- ✓ Para se medir Q<sub>e</sub> é necessário medir F<sub>e</sub>. As estimativas de Q<sub>e</sub> não são precisas.

#### A (razão) de evaporação depende de:

- ✓ vento (intensidade) e mistura
- ✓ estabilidade atmosférica
- ✓ umidade do ar (saturação)

Não pode ser medida diretamente nos oceanos, somente existem técnicas de inferência A razão de transferencia depende da velocidade do vento, e está relacionada com o cizalhamento, que é a diferença entre vento a 10 m de altura e a superfície do mar.



## Evaporação (Calor Latente de Evaporação), $Q_{\rho}$





A razão de evaporação da água (F<sub>e</sub>) pode ser obtido por cálculo usando-se a bulk fórmula

$$F_e = c_e \rho_a W(e_w - e_a)$$
 onde,

e<sub>a</sub> = pressão de vapor no ar em um nível padrão (10 metros de altura)

e<sub>w</sub>= pressão de vapor de saturação do ar ao nível do mar

W= velocidade do vento em um nível padrão (10 metros de altura)

 $\rho_a$  = densidade do ar

 $c_e$  = coeficiente adimensional (Número de Dalton) ~ 1.5 x 10<sup>-3</sup>

Na prática, esta bulk formula é simplificada para

$$F_e = 1.44(e_w - e_a)W$$

Ou segundo Knaus (1997), a mais simples aproximação linear seria

$$Q_e = c_e (e_w - e_a)W$$



## Calor Sensível, $Q_{h}$





A terceira importante forma de perda de calor da Terra para o espaço se da por convecção e condução e é denominada como perda pôr calor sensível

- ✓O oceano fornece calor diretamente para a atmosfera. Isto aumenta a velocidade na superfície devido a transferencia turbulenta. Novamente... este termo e difícil de se medir!!!
- ✓Os valores típicos de  $Q_e$  variam de 10 a 15% dos valores de  $Q_e$  que é ~ 10 W.m<sup>-2</sup>
- $\checkmark$   $Q_h$  é muito menor que  $Q_e$ , então a incerteza em ser obter  $Q_h$  não é tão crítica

O fluxo de Calor sensível pode ser obtido obtido pela bulk fórmula

$$Q_h = c_h \rho_a c_p (T_w - T_a) W \quad \text{onde,}$$

 $\rho_a c_p$  = capacidade de calor (heat capacity) pôr unidade de volume do ar

W= velocidade do vento em um nível padrão (10 metros de altura)

T<sub>w</sub>= Temperatura da Superfície do Mar (TSM)

T<sub>a</sub>= Temperatura do ar em um nível padrão (2 ou 10 metros de altura)

 $c_h$  = coeficiente adimensional

- ~ 0.83 x 10<sup>-3</sup> sob condições estáveis
- ~ 1.10 x 10<sup>-3</sup> sob condições instáveis



# Calor Sensivel, $Q_h$





A fórmula para o cálculo de Q<sub>h</sub> pode ser simplificada de

$$Q_h = c_h \rho_a c_p W(T_w - T_a)$$

para

$$Q_h = 1.88 \text{ W}(T_w - T_a)$$

Alguns estudos indicam que  $Q_h$  e  $Q_e$  podem ser relacionados, assumindo-se que os processos que controlam estas quantidades são similares. Esta premissa é a base da Razão de Bowen

$$R = \frac{Q_{h}}{Q_{e}} = 0.5 \frac{T_{w} - T_{a}}{e_{w} - e_{a}}$$

Esta razão assume que os coef verticais de difusão turbulenta são iguais para o calor e o vapor d'água

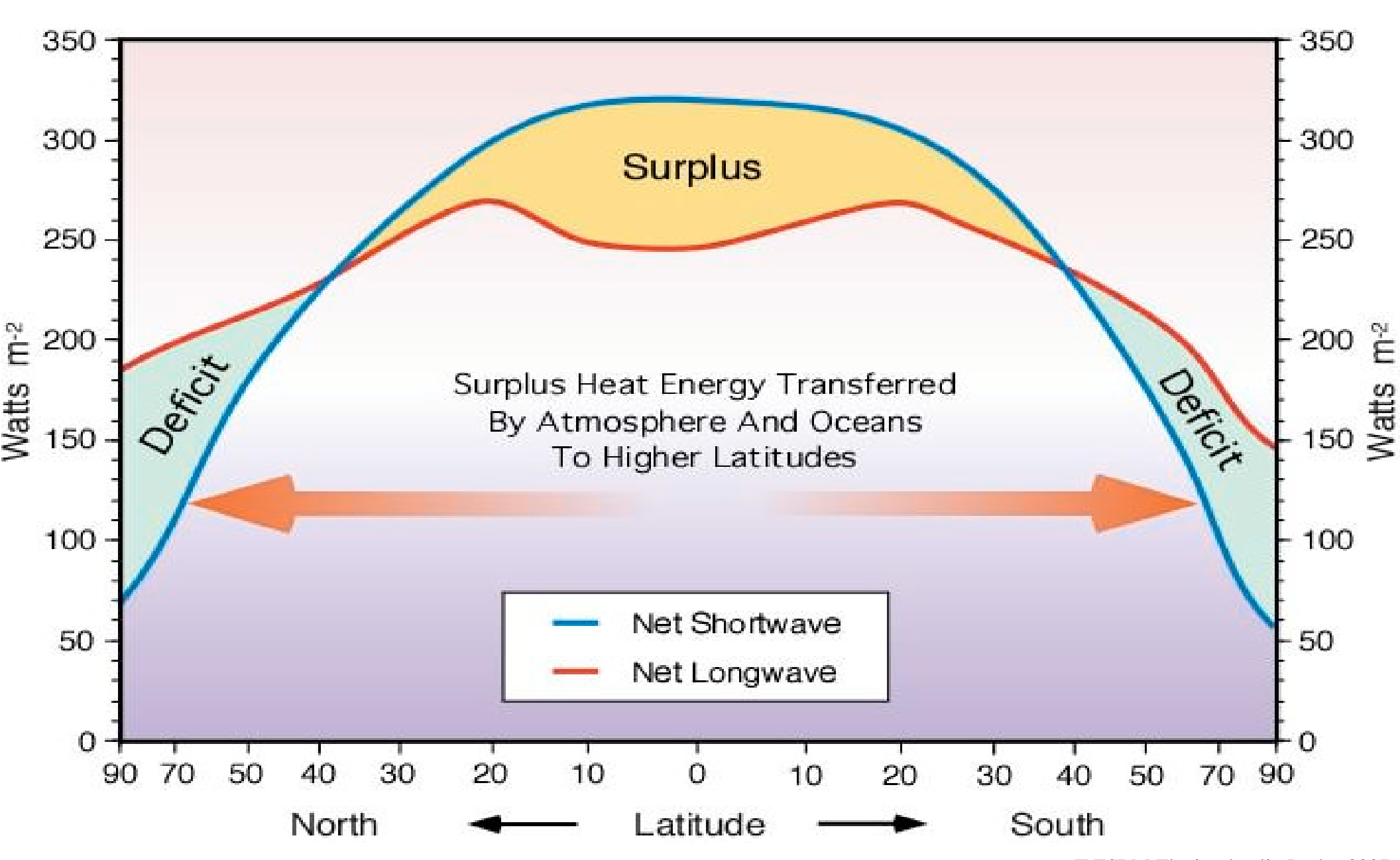
Q<sub>e</sub> pode ser estimado, baseando-se nos principais termos de Q

$$Q_{e} = \frac{Q_{s} - Q_{b} - Q_{T}}{1 + 0.5 \left(\frac{T_{w} - T_{a}}{e_{w} - e_{a}}\right)} = \frac{Q_{s} - Q_{b} - Q_{T}}{1 + R}$$



## Balanço de Calor da Terra

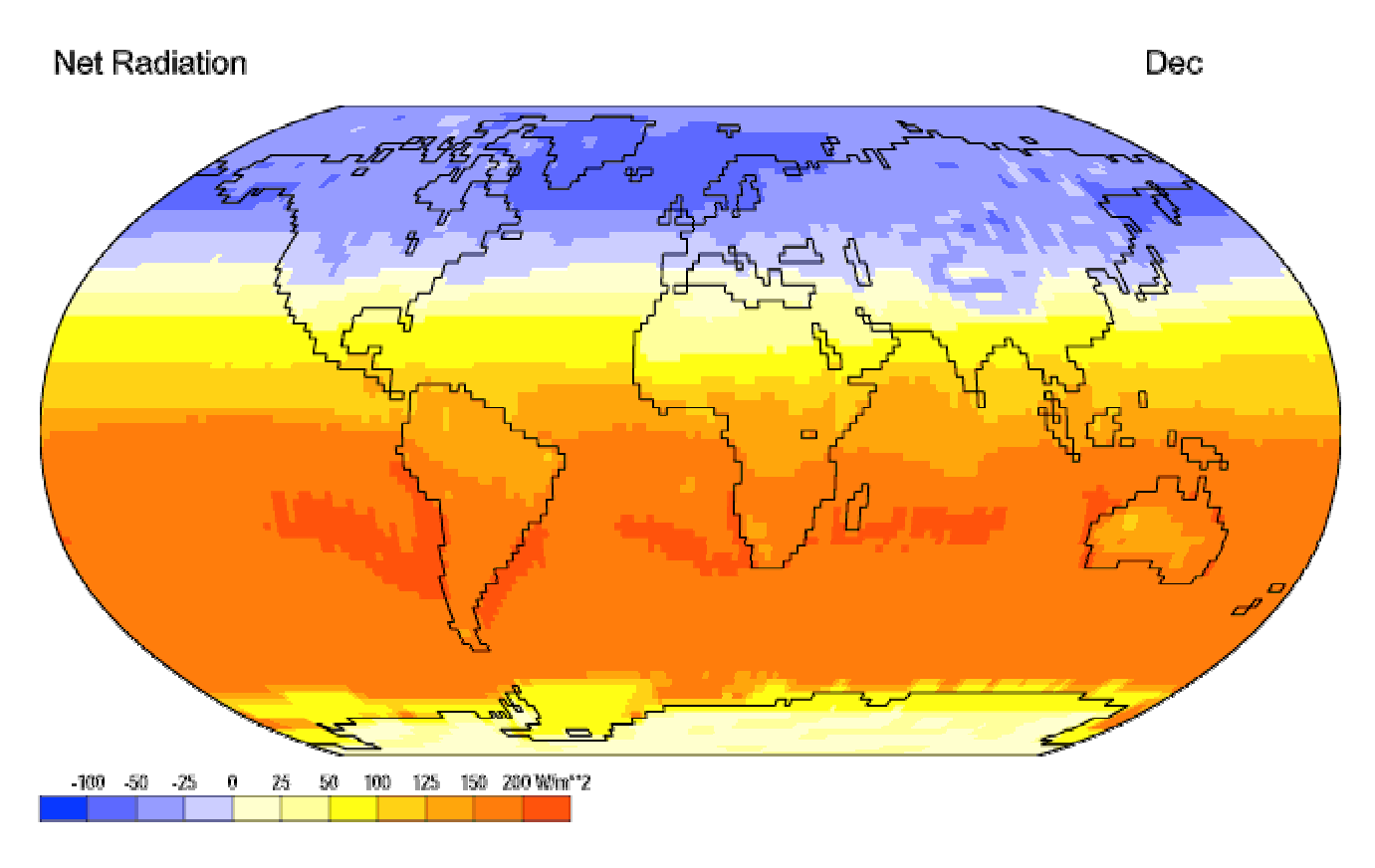






#### Balanço líquido da radiação na superfície



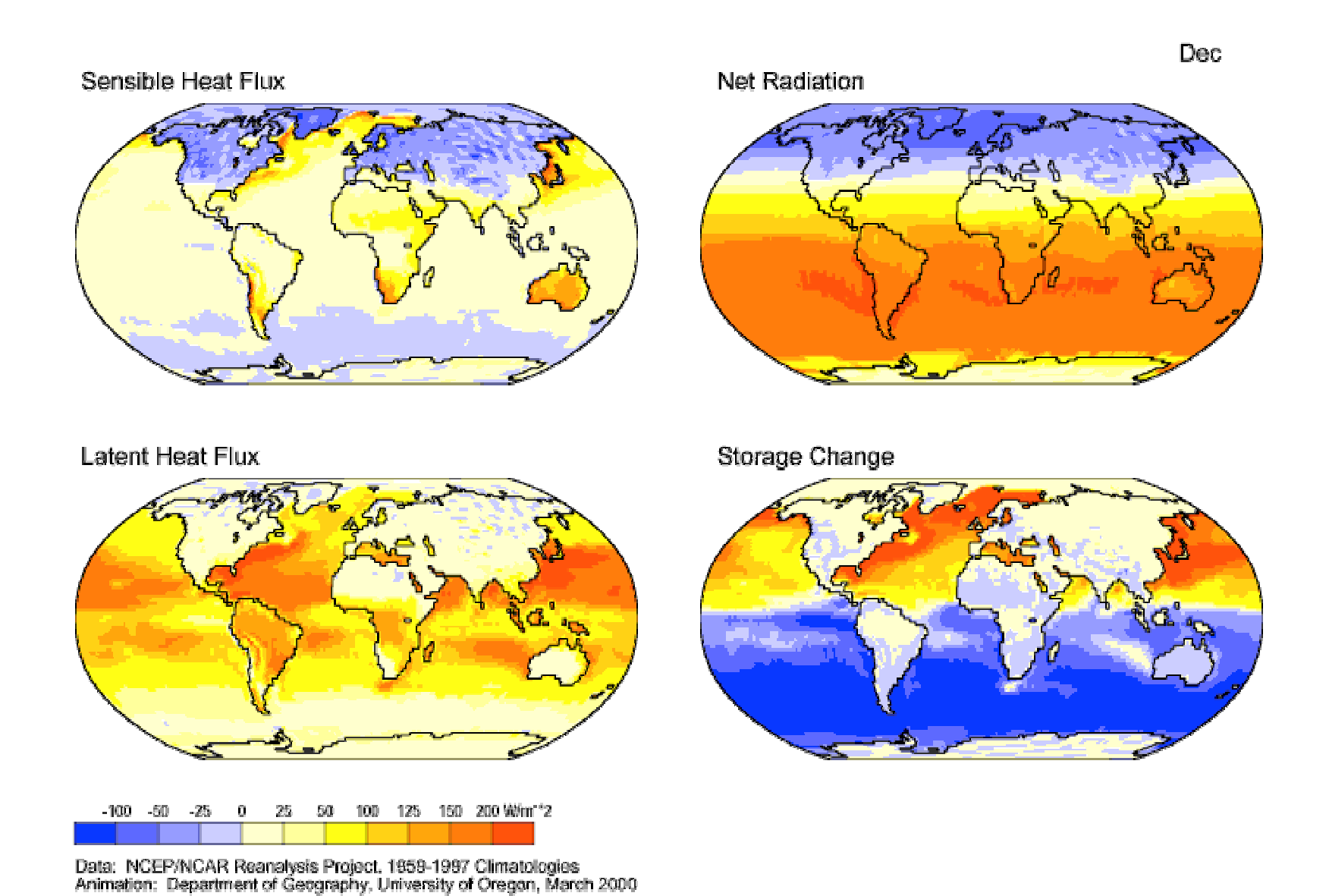


Data: NCEP/NCAR Reanalysis Project, 1958-1997 Climatologies Animation: Department of Geography, University of Oregon, March 2000



#### Balanço global de energia na superfície do planeta









#### Clear-Sky Downward Insolation (W/m²)

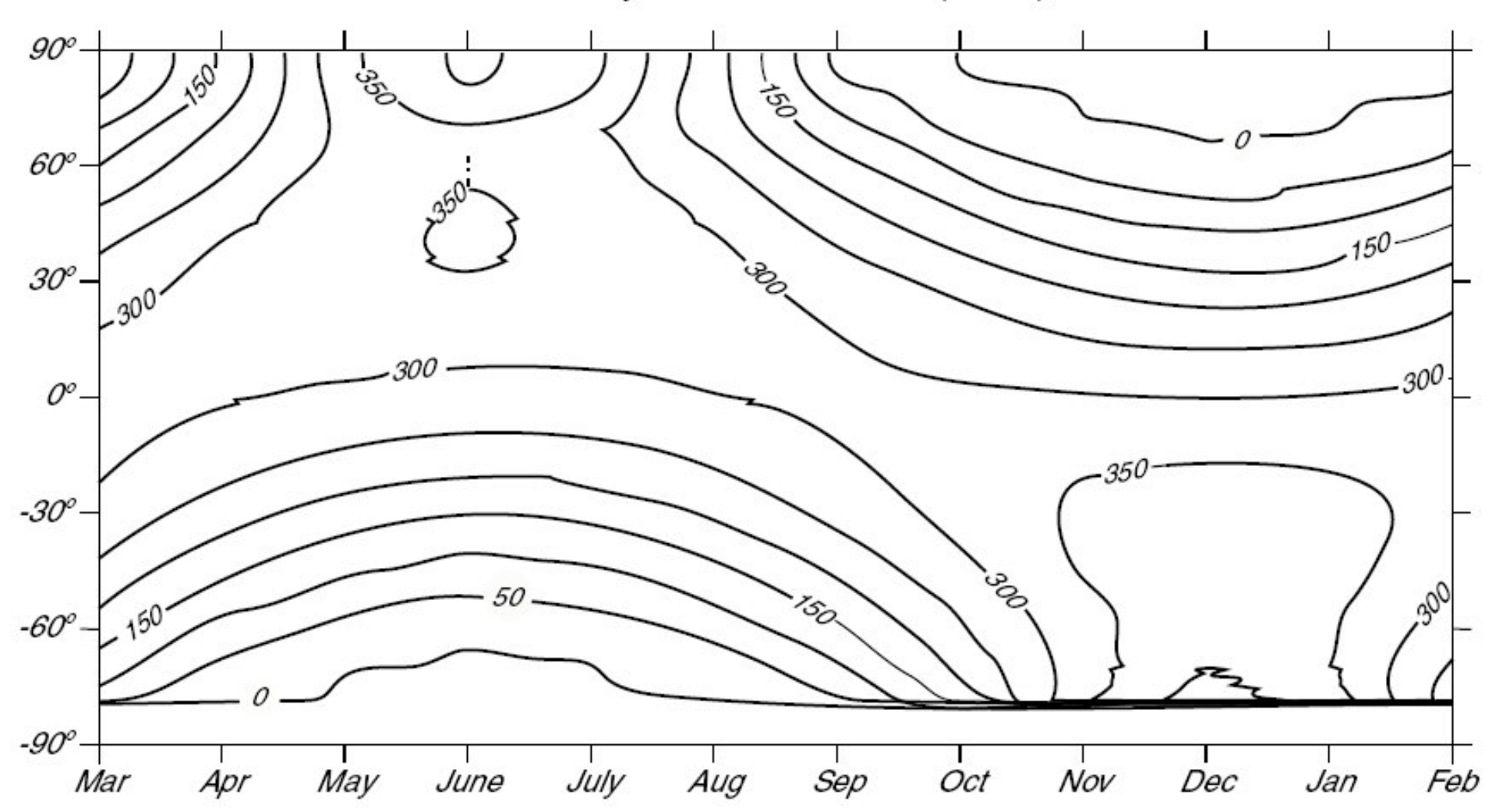


Figure 5.3 Monthly average of downward flux of sunlight through a cloud-free sky and into the ocean in W/m<sup>2</sup> during 1989 calculated by the Satellite Data Analysis Center at the NASA Langley Research Center (Darnell et al. 1992) using data from the International Satellite Cloud Climatology Project.





#### Fluxos Meridionais de Calor

A pouca variabilidade da temperatura média global implica na pequena variação do balanço entre a radiação solar absorvida e a ROL emitida, porém a variação desse balanço radiativo com a latitude é significante;

A radiação solar é principalmente absorvida nos trópicos;

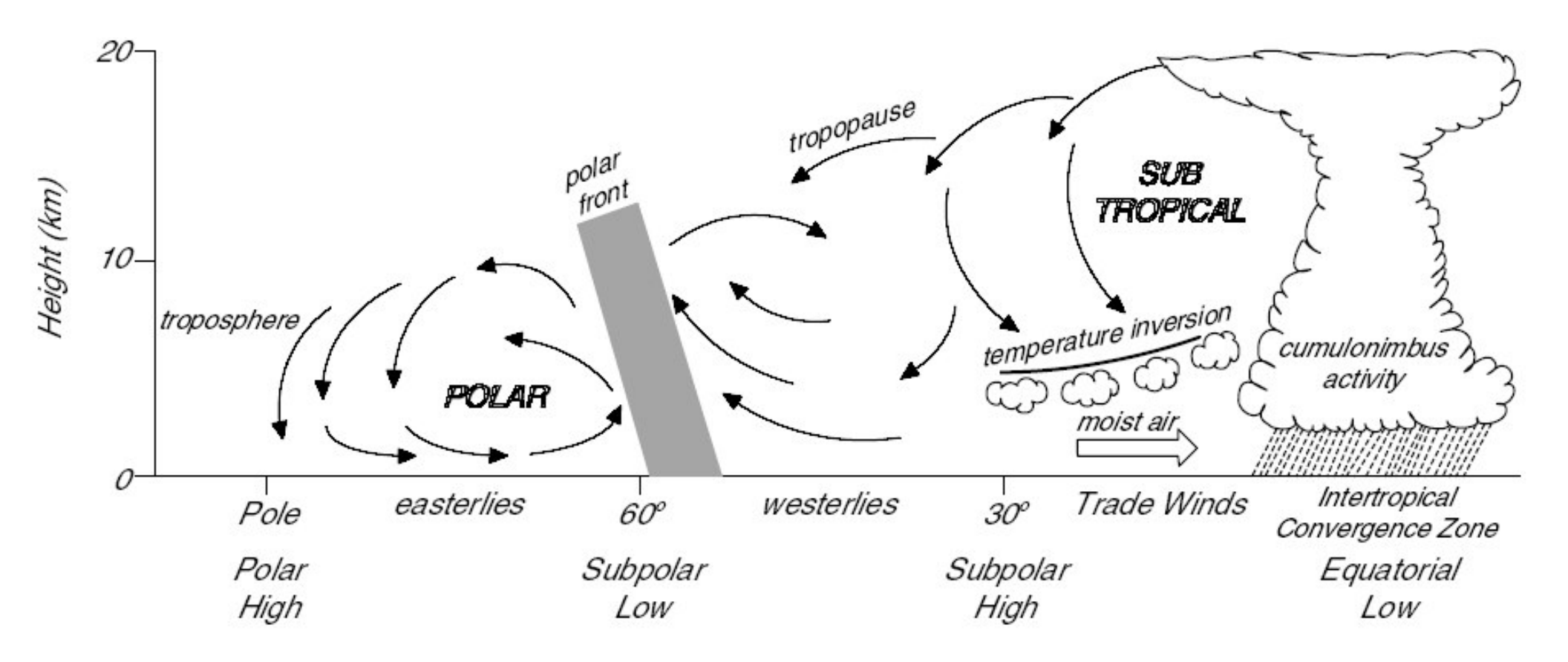
A ROL, determinada principalmente pelas propriedades da atmosfera, terra e oceano, é muito menos dependente da latitude;

Em consequência disso, existe um **FLUXO DE CALOR** dos trópicos em direção aos pólos;

A medição desse fluxo é importante pois ele regula o clima, sendo variável fundamental para modelos atmosféricos, oceânicos e acoplados.









## O que é o Fluxo?

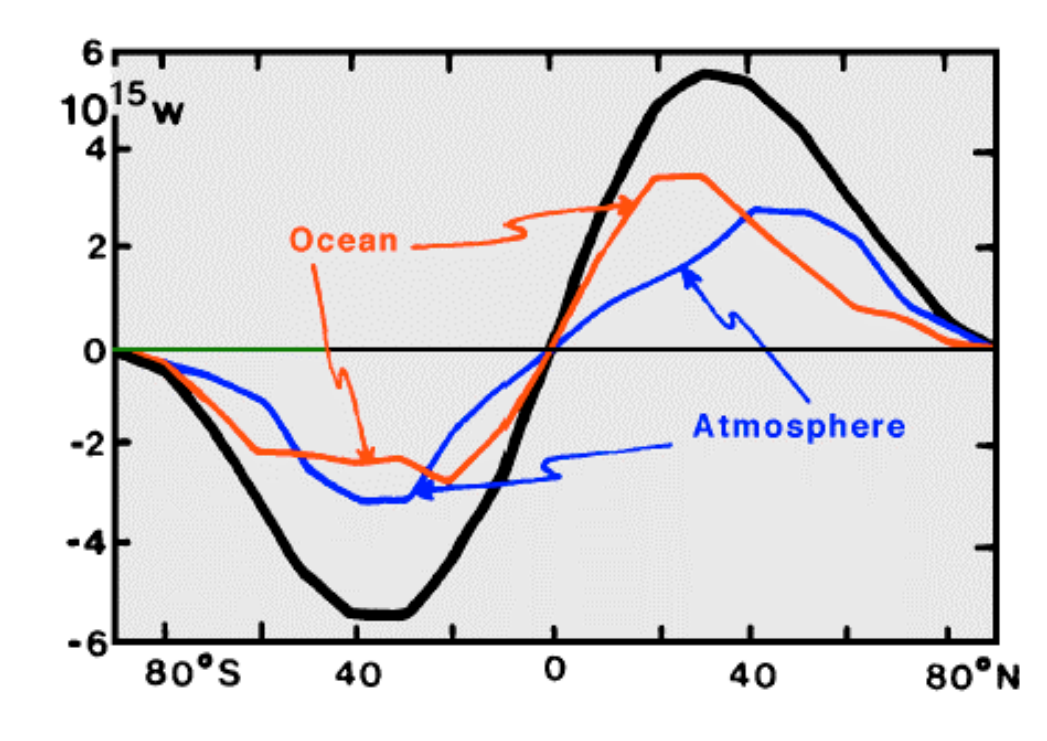


O fluxo de uma propriedade é a quantidade dessa propriedade que atravessa perpendicularmente uma área unitária por unidade de tempo:

Fluxo = [propriedade]/[área]/[tempo]

(J.s<sup>-1</sup>.m<sup>-2</sup> ou W.m<sup>-2</sup>)

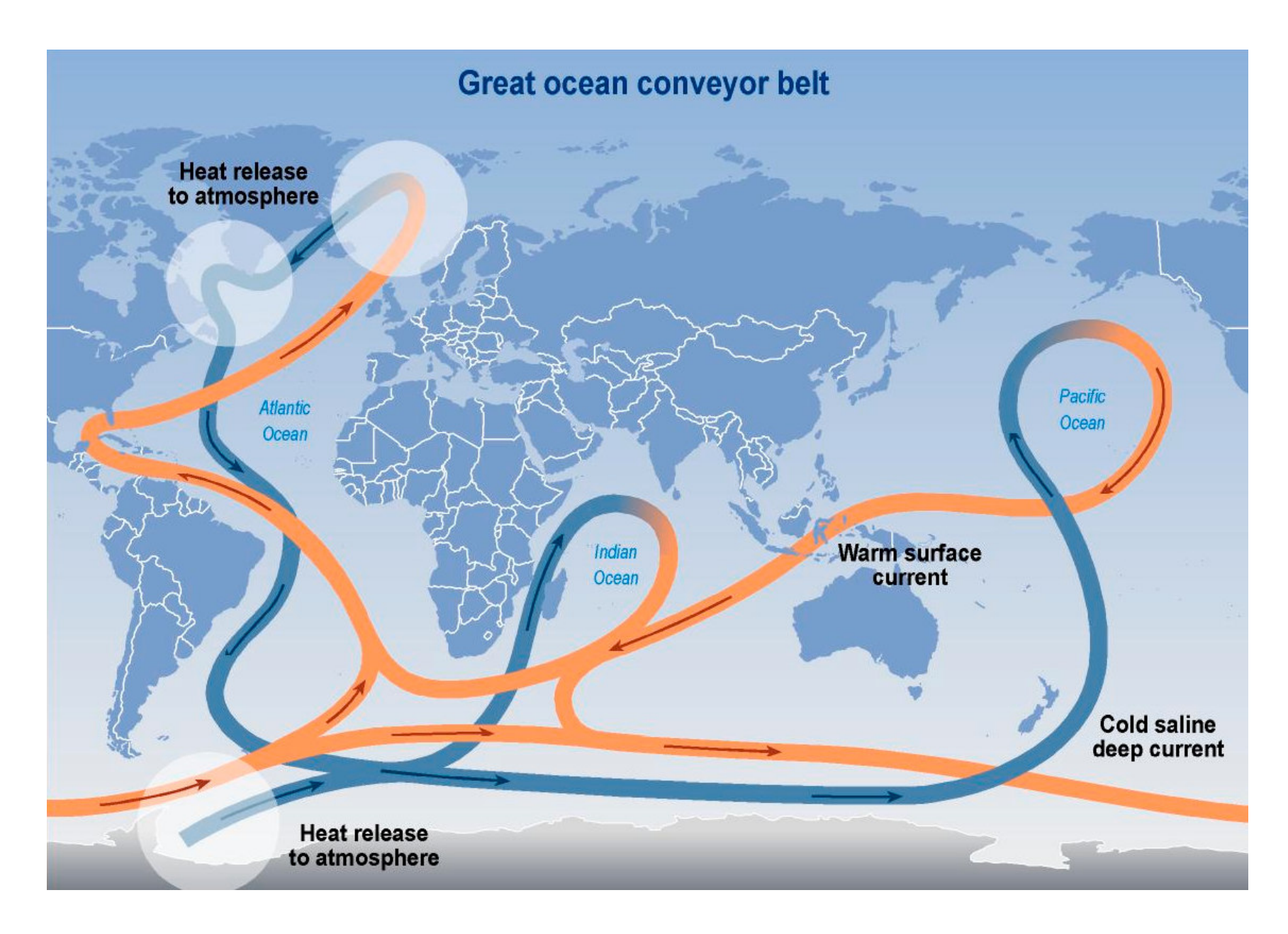
Fig. 18.2 Annual mean meridional heat flux in the ocean and the atmosphere (thin lines), and total annual mean meridional heat flux (heavy line). Adapted from Carissimo *et al.* (1985).





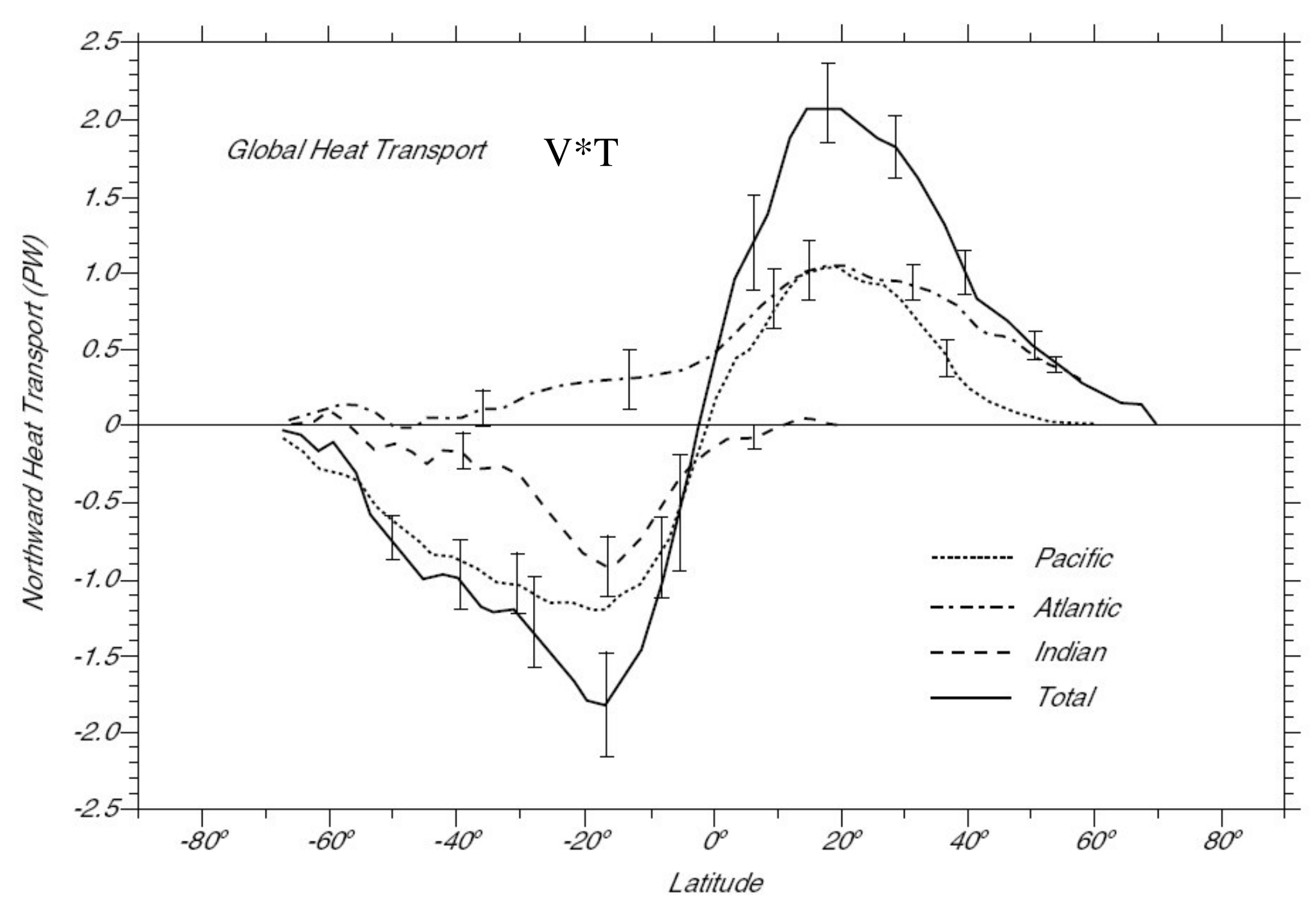
#### Oceanic Themohaline Circulation













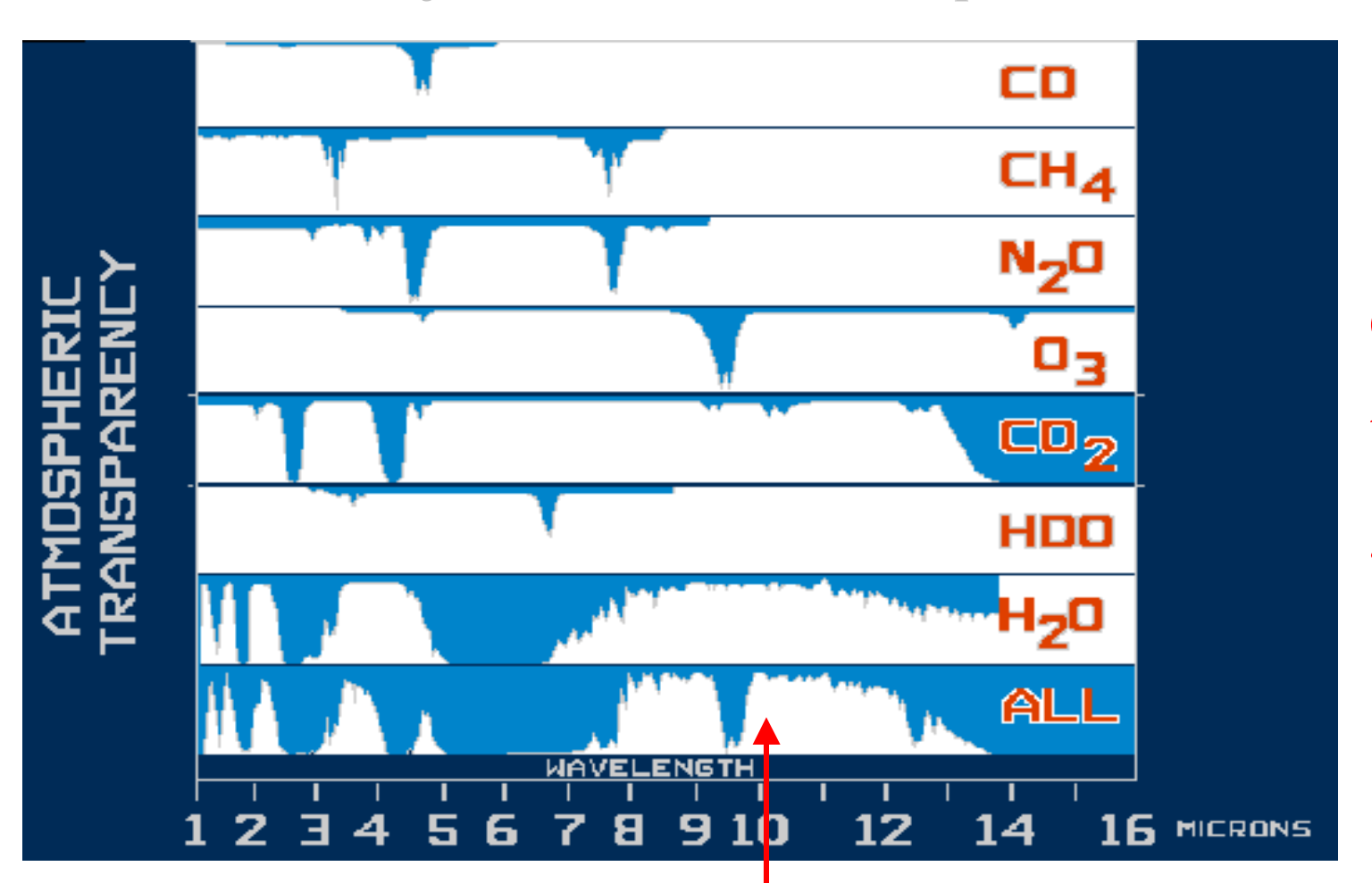
## Considerações Finais sobre o Balanço de Calor do Sistema Terra-Oceano-Atmosfera



- ✓ O balanço de radiação do sistema Terra-Atmosfera é positivo em baixas latitudes e negativo em altas latitudes.
- ✓ A circulação dos oceanos e da atmosfera é causada pela energia do sol e pela rotação da Terra.
- ✓ O calor é distribuído de baixas para altas latitudes pelos sistemas de ventos e correntes, ou seja pela circulação dos oceanos e da atmosfera.
- ✓ dQT/dt=0 para toda superfície global e um dt longo, ou o o Estado básico Climático será alterado.

As idéias desenvolvidas até este ponto assumiram que o Planeta Terra esta em equilíbrio! Caso contrário haveriam mudanças a longo prazo do clima terrestre. dQT/dt=0

✓ Entretanto hoje em dia ha consenso que o clima está mudando !!



CO<sub>2</sub> e H<sub>2</sub>O are the most important greenhouse gases.

A Terra emite boa parte de sua radiação aqui.



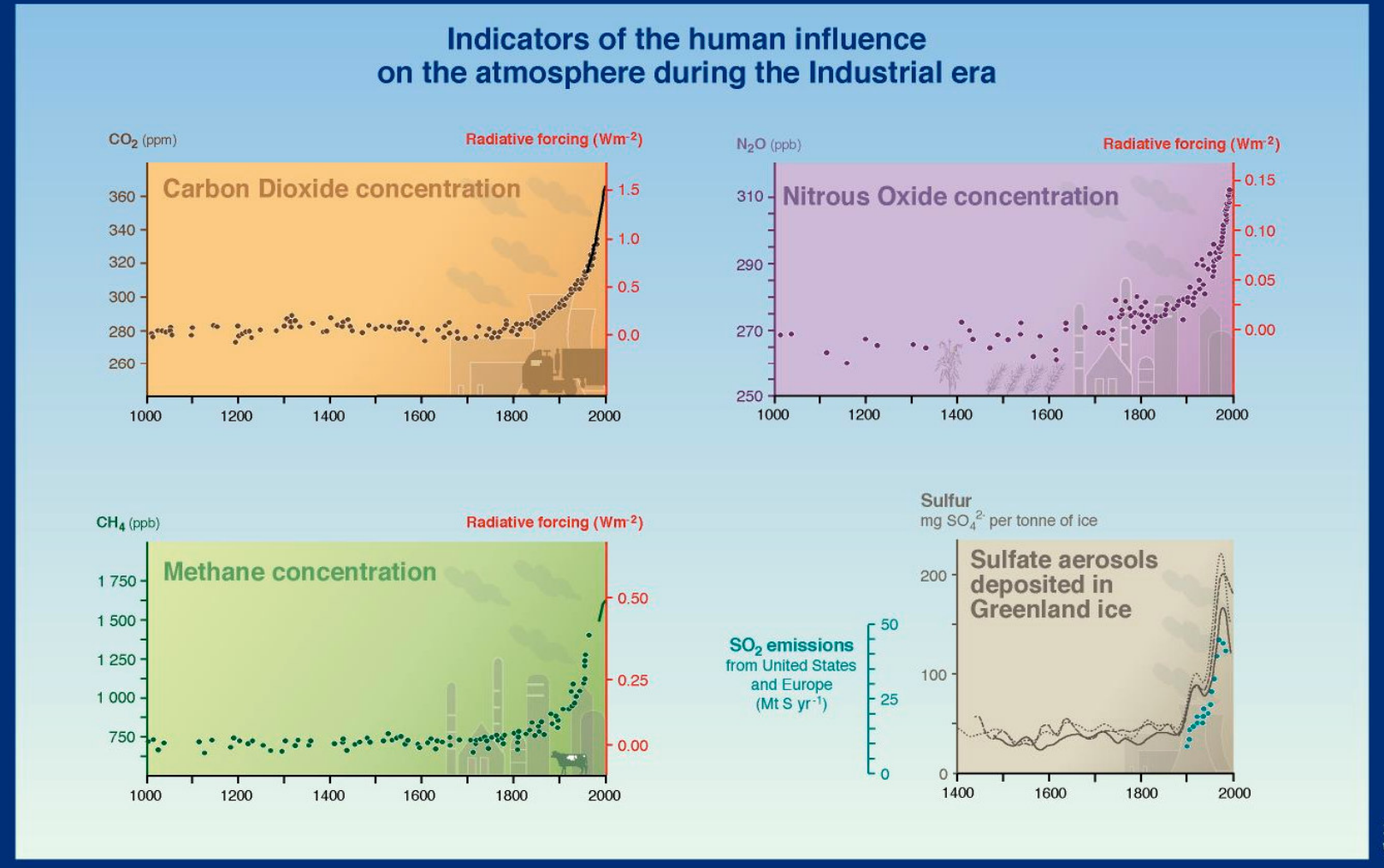


- ✓ Efeito Estufa: É um efeito regulador do Balanço de Calor do Planeta.
- ✓ O aumento da temperatura da Terra causado por gases atmosféricos (de Efeito Estufa) e vapor d'água pode levar a mudanças no clima do Planeta Terra.
- ✓ Muitos gases na atmosfera são transparentes a radiação de onda curta  $(Q_s)$ , porém bloqueiam a radiação de onda longa  $(Q_b)$
- ✓ Exemplo simples seria um automóvel exposto ao sol com os vidros fechados (veremos um exemplo mais adiante)



#### O Efeito Estufa - Influência Antrópica





SYR - FIGURE 2-1 WG1 FIGURE SPM-2







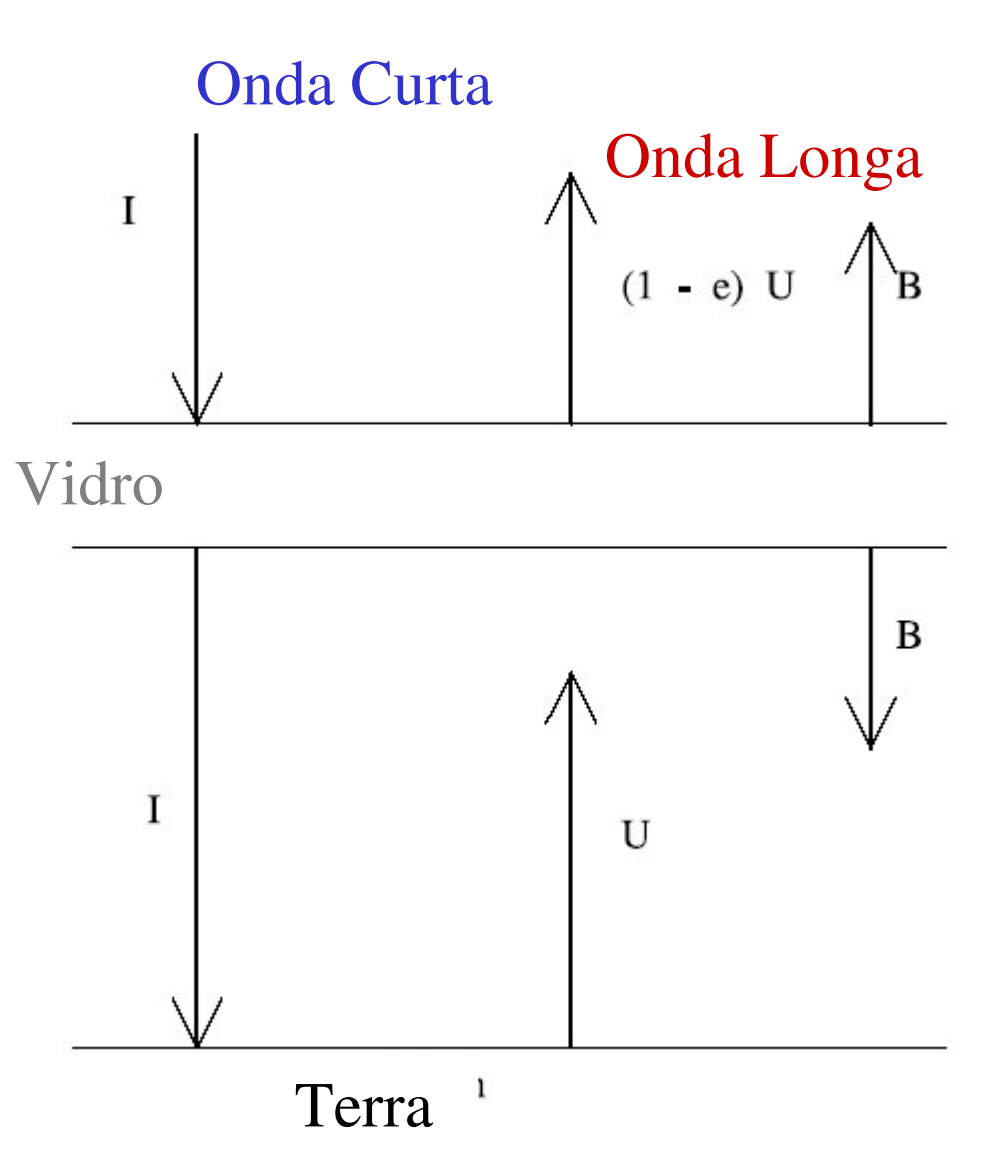
Para haver equilíbrio do Sistema terrestre é necessário que os fluxos incidentes e re-irradiados estejam em balanço

No modelo simplificado a ATM e uma folha de vidro e pode absorver parte da onda longa

$$I=(1-e) U + B = U - B$$
 onde,

I é onda curta que chega U onda longa que sai B onda longa re-irradiada pelo vidro

e é a % da onda longa absorvida pelo vidro



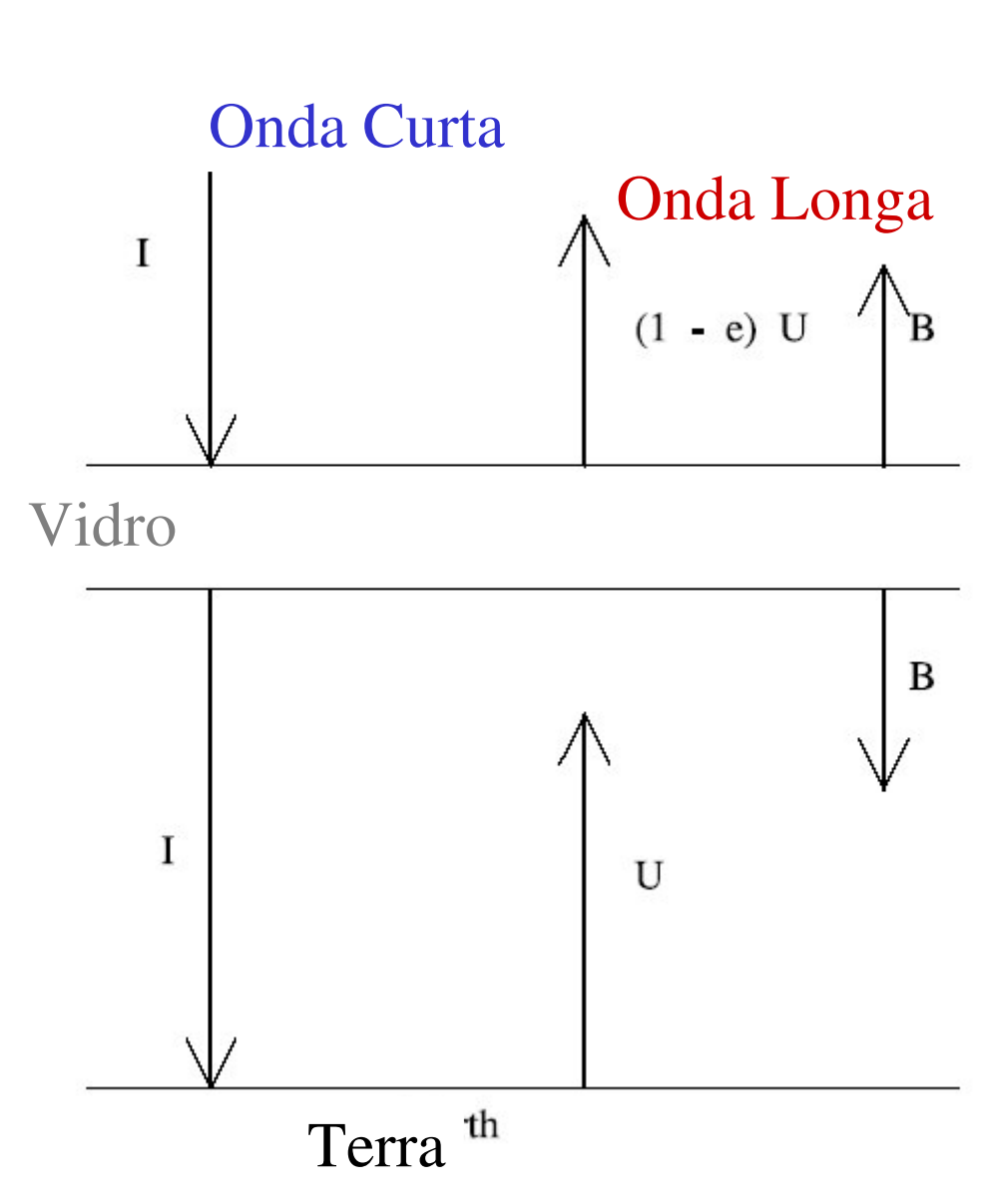




Resolvendo nosso problema I=(1-e)U+B=U-B com Stefan-Boltzman....

$$U = c_s T_G^4 \quad \text{ou} \quad U = \frac{I}{1 - \frac{e}{2}}$$

- √T<sub>G</sub> é a temperatura da superfície, e aumenta de acordo com a absorção e do vidro.
- ✓ Se e=0, toda OL passa e B=0
- ✓ Se *e*=1, toda OL é absorvida e I=B e a superfície recebe um fluxo de I+B=2I







- ✓ No mundo real os gases de efeito estufa (*greenhouse gases*) são continuamente distribuídos (lançados; produzidos...) na atmosfera Ex: CO<sub>2</sub>, Metano, vapor d'água, ......
- ✓ Os gases de efeito estufa podem ser considerados, por analogia, como a folha de vidro do nosso exemplo. Porém este modelo simplificado não explica tudo! Cuidado!

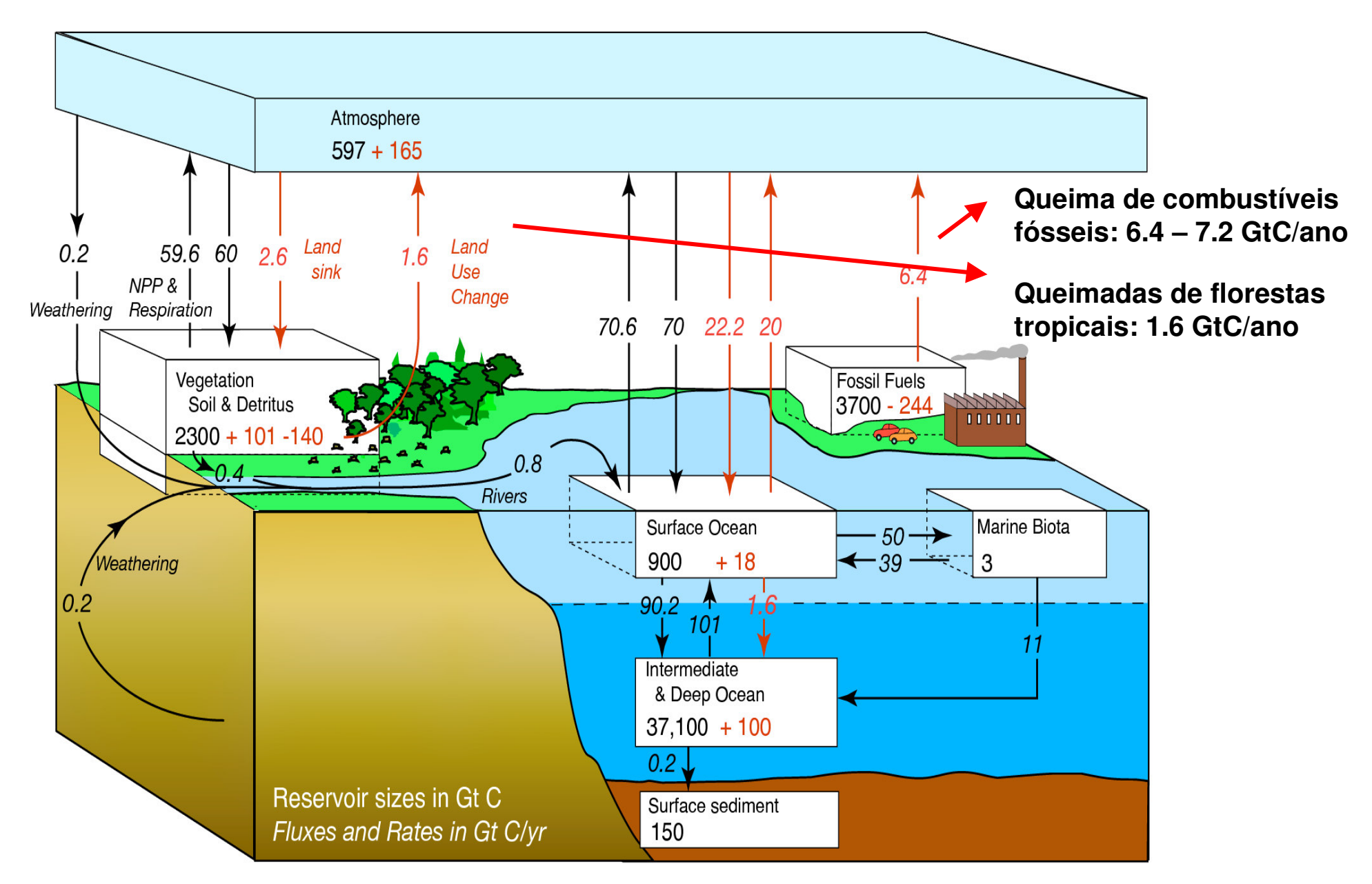
Entretanto, aumentando a concentração dos gases de efeito estufa:

- ✓ Fecha a janela atmosférica para ondas longas (infravermelho) (i.e., aumenta *e* do nosso modelo simplificado)
- ✓ Consequentemente aumenta a temperatura a superfície (i.e., T<sub>G</sub> do nosso modelo)



# Um maior entendimento do modo com que estamos alterando a ciclagem de carbono

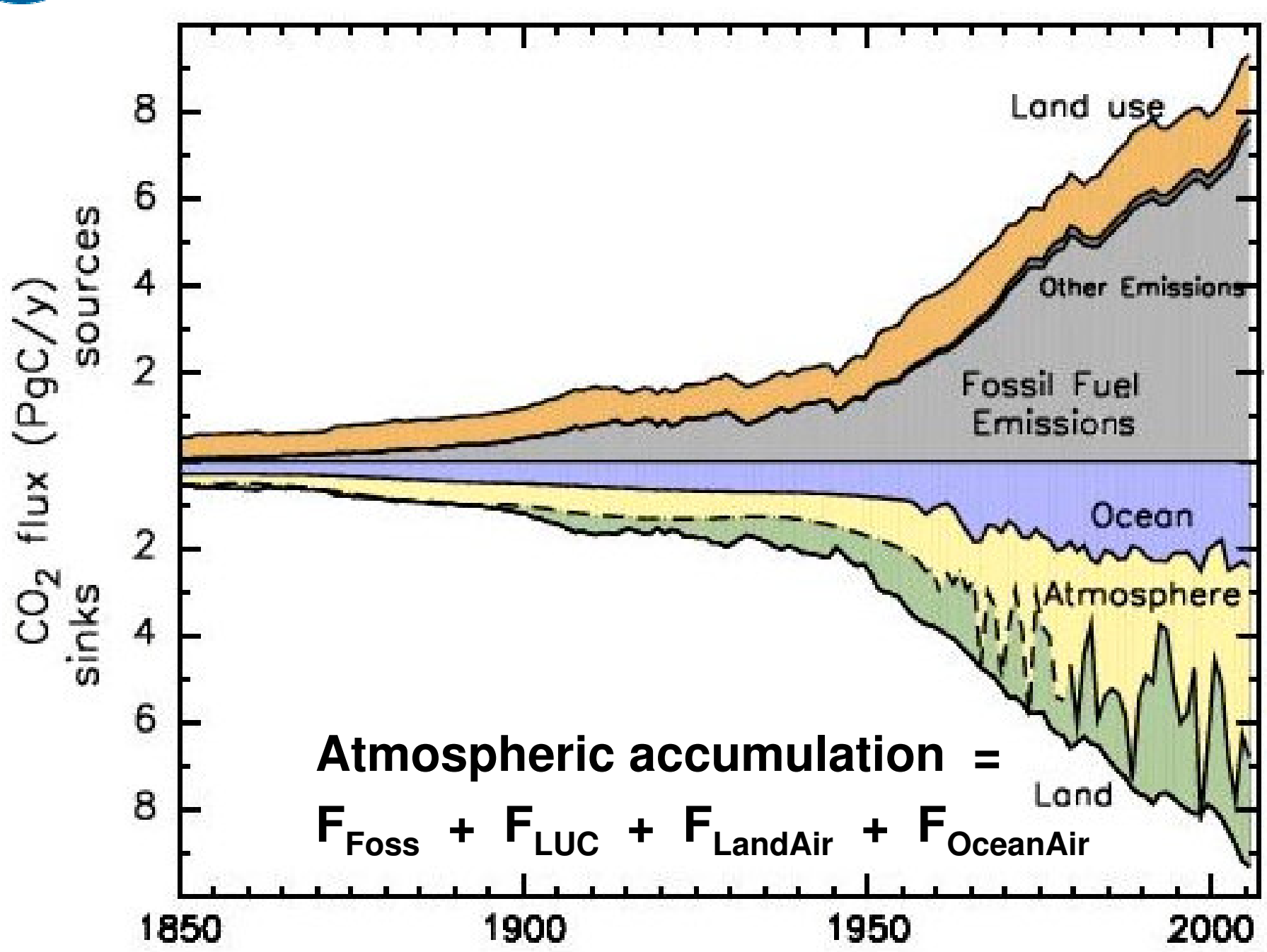






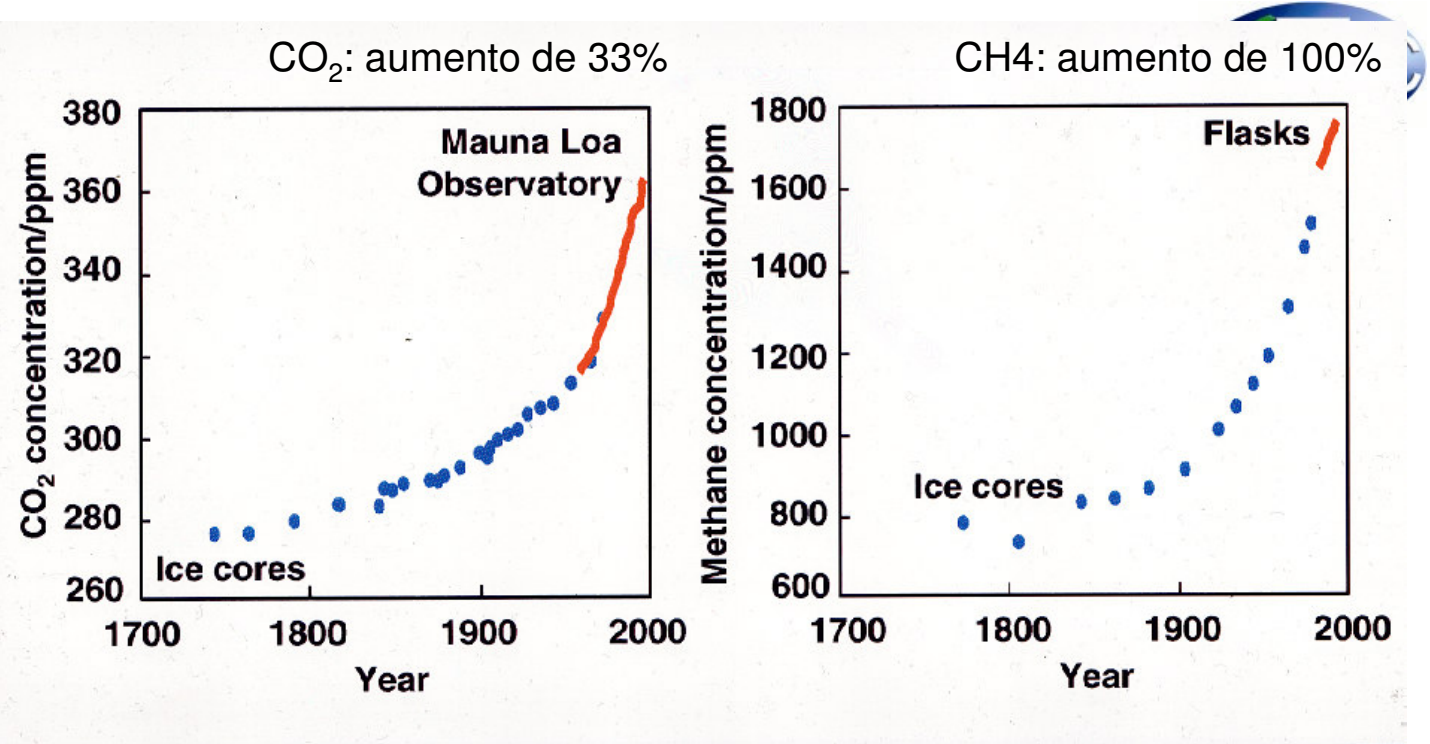
## Emissões e absorção de CO<sub>2</sub> atmosférico

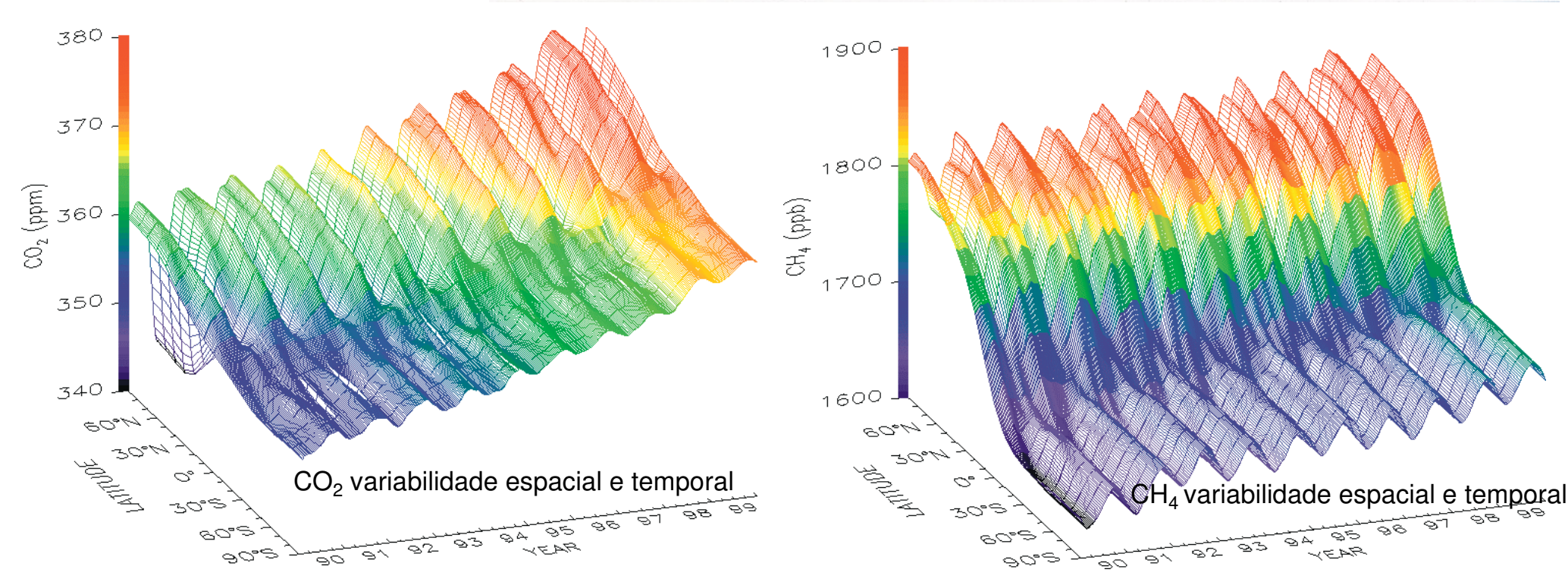






Dióxido de carbono e metano aumentaram significativamente desde a revolução industrial

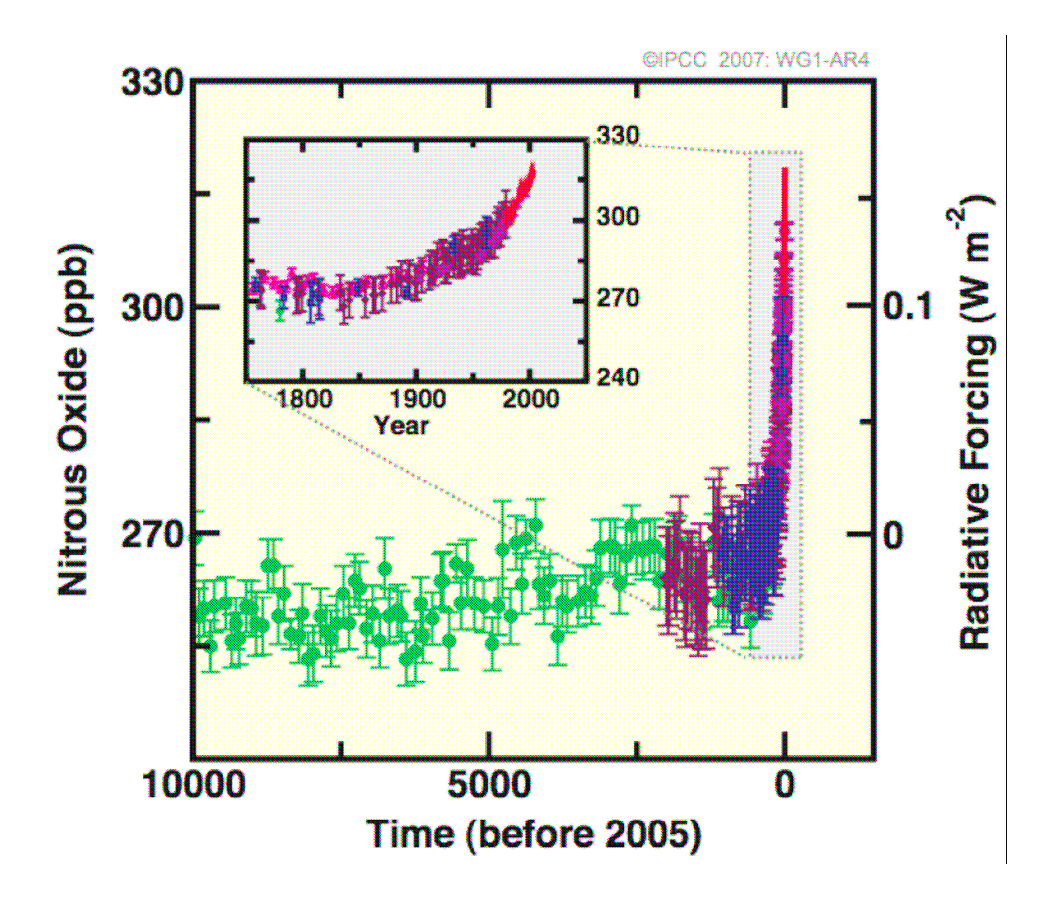




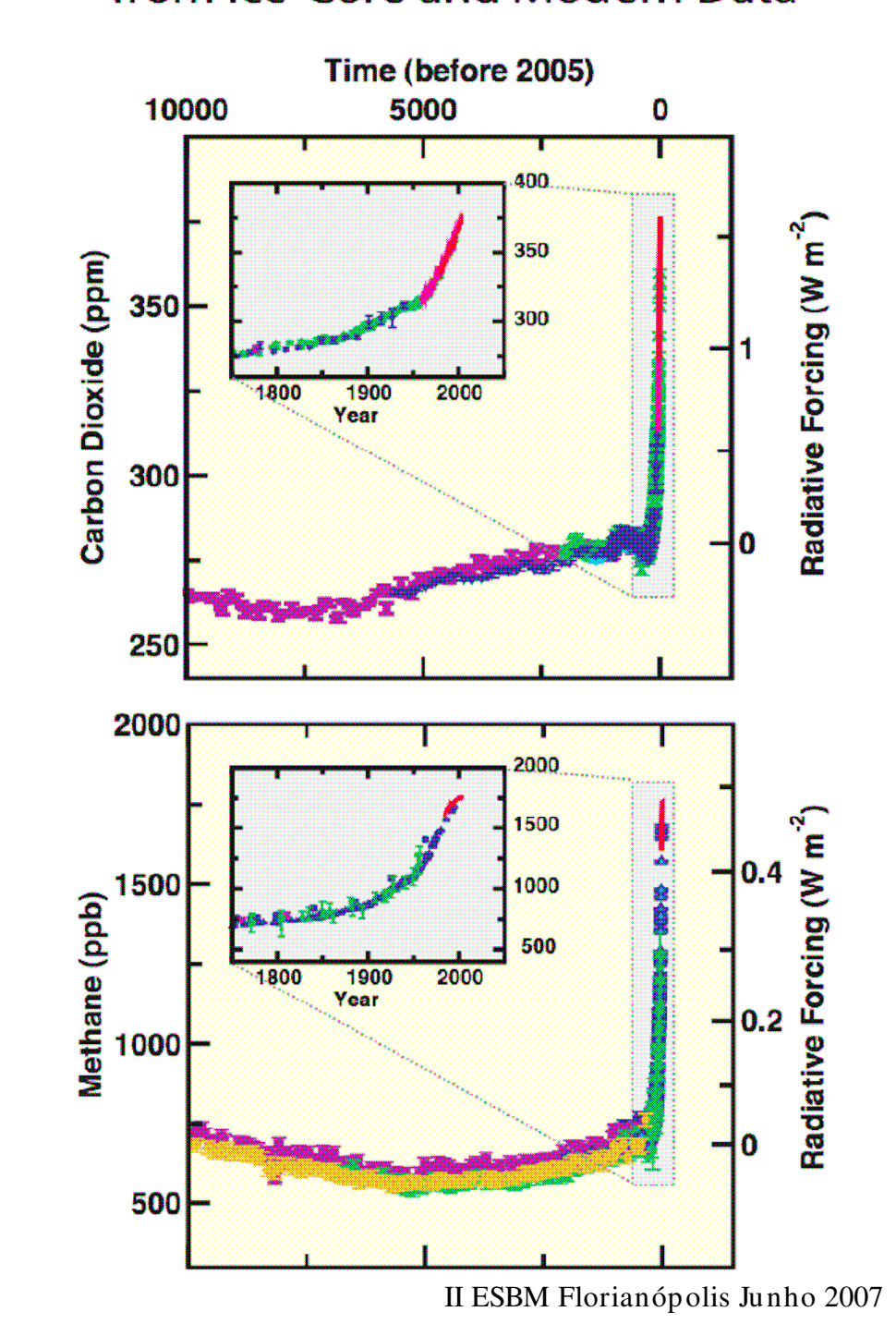


Concentrações atmosféricas de dióxido de carbono, metano e óxido nitroso nos ultimos 10000 anos.

As forçantes radiativas estão calculadas na escala da direita.



# Changes in Greenhouse Gases from ice-Core and Modern Data

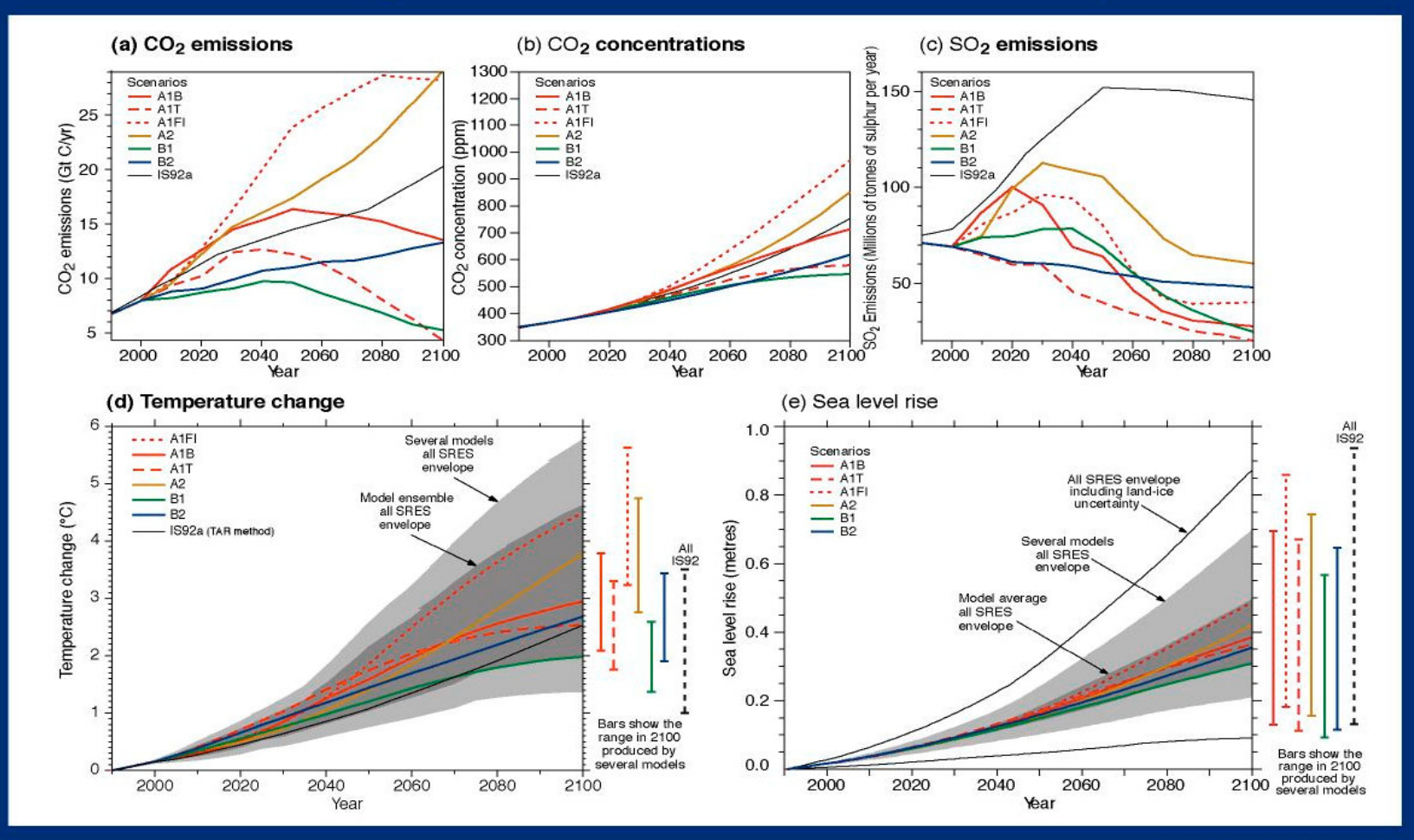




## O Efeito Estufa - Influência Antrópica



#### The global climate of the 21st century



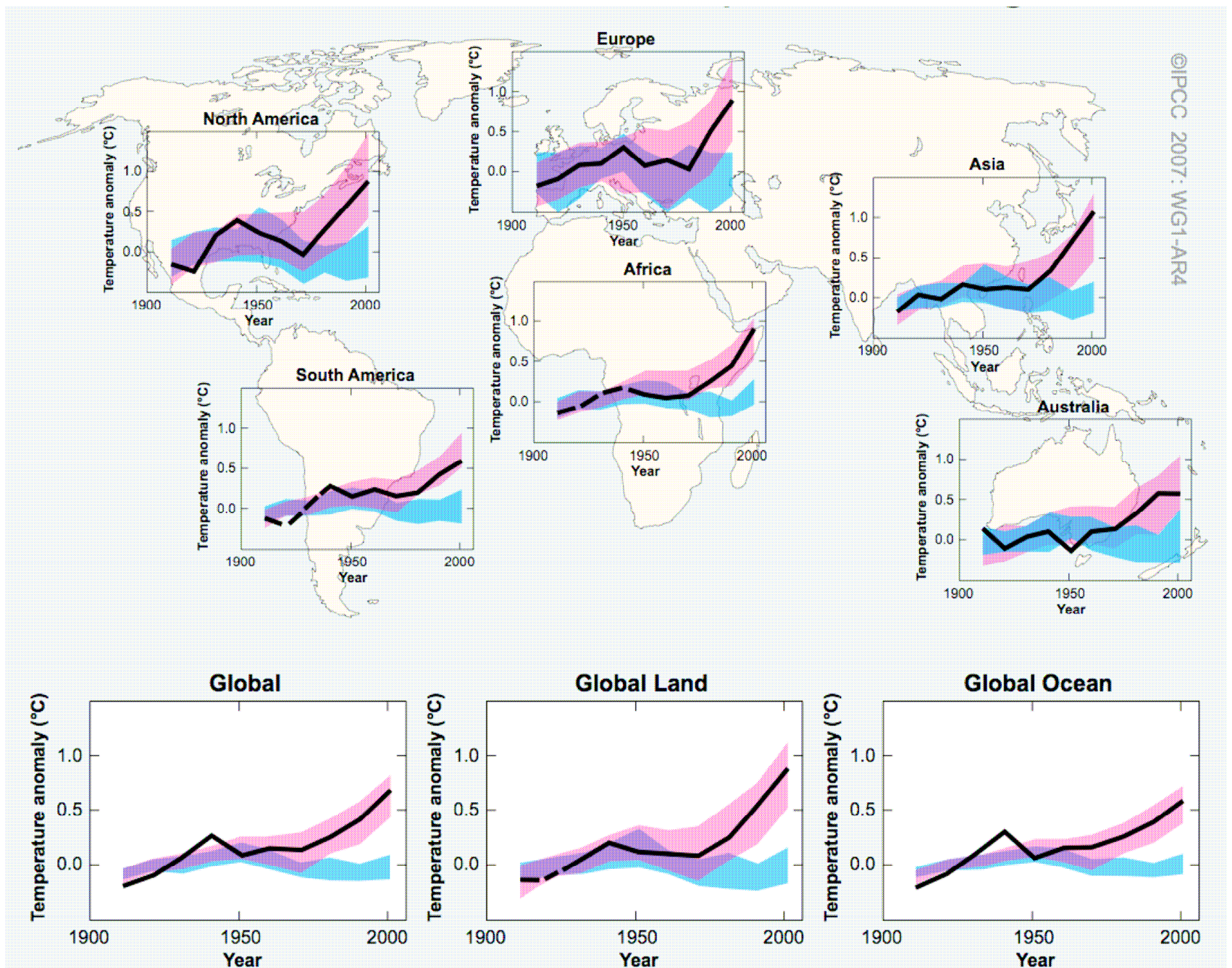
WG1 - SPM FIGURE 5





# Comparação de temperaturas modeladas e observadas usando forçantes climáticas naturais e antropogênicas para cada região do planeta.



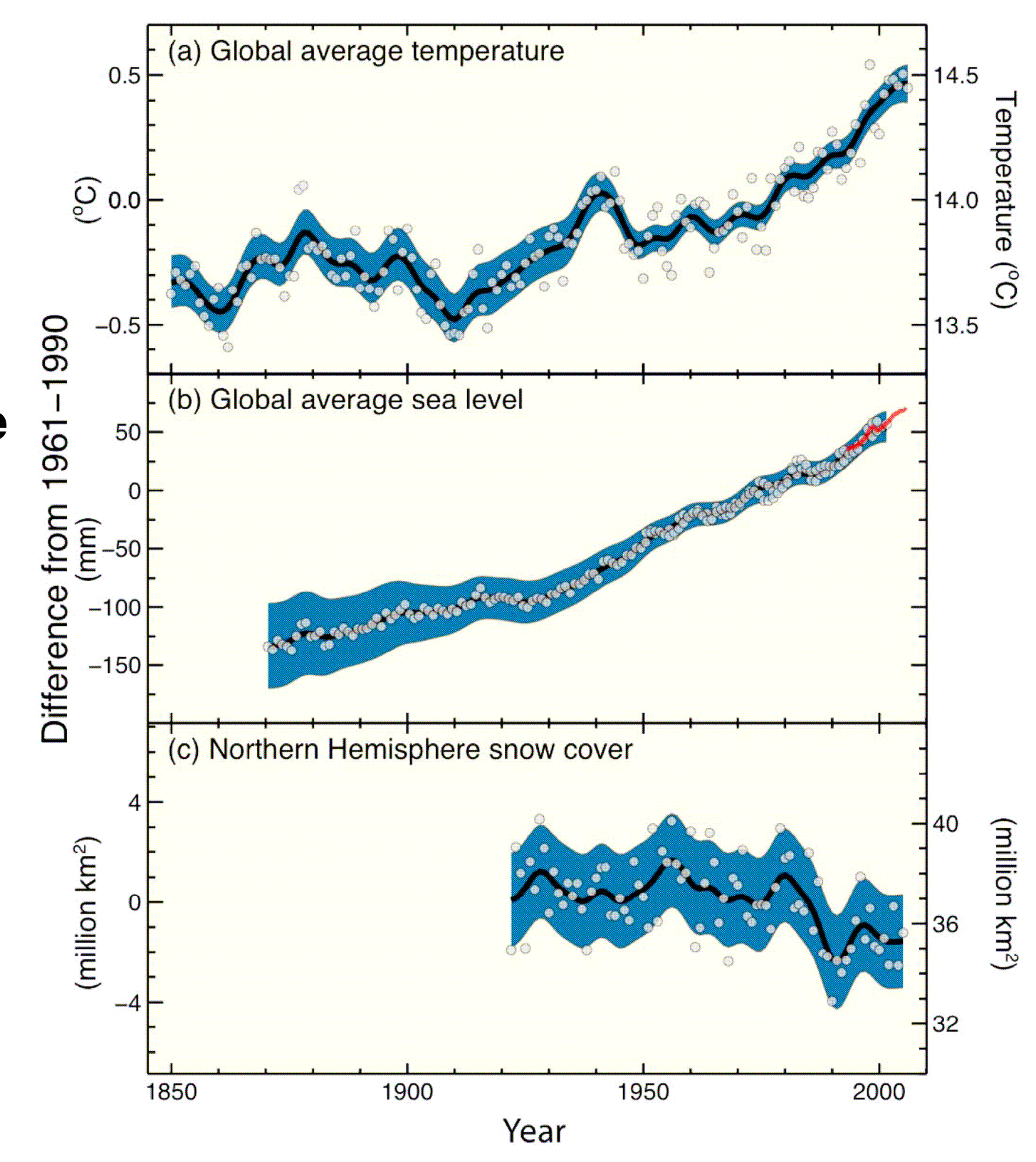




(a) Mudanças observadas na temperatura global da superfície desde 1850;

(b) Nível médio do nível do mar desde 1850

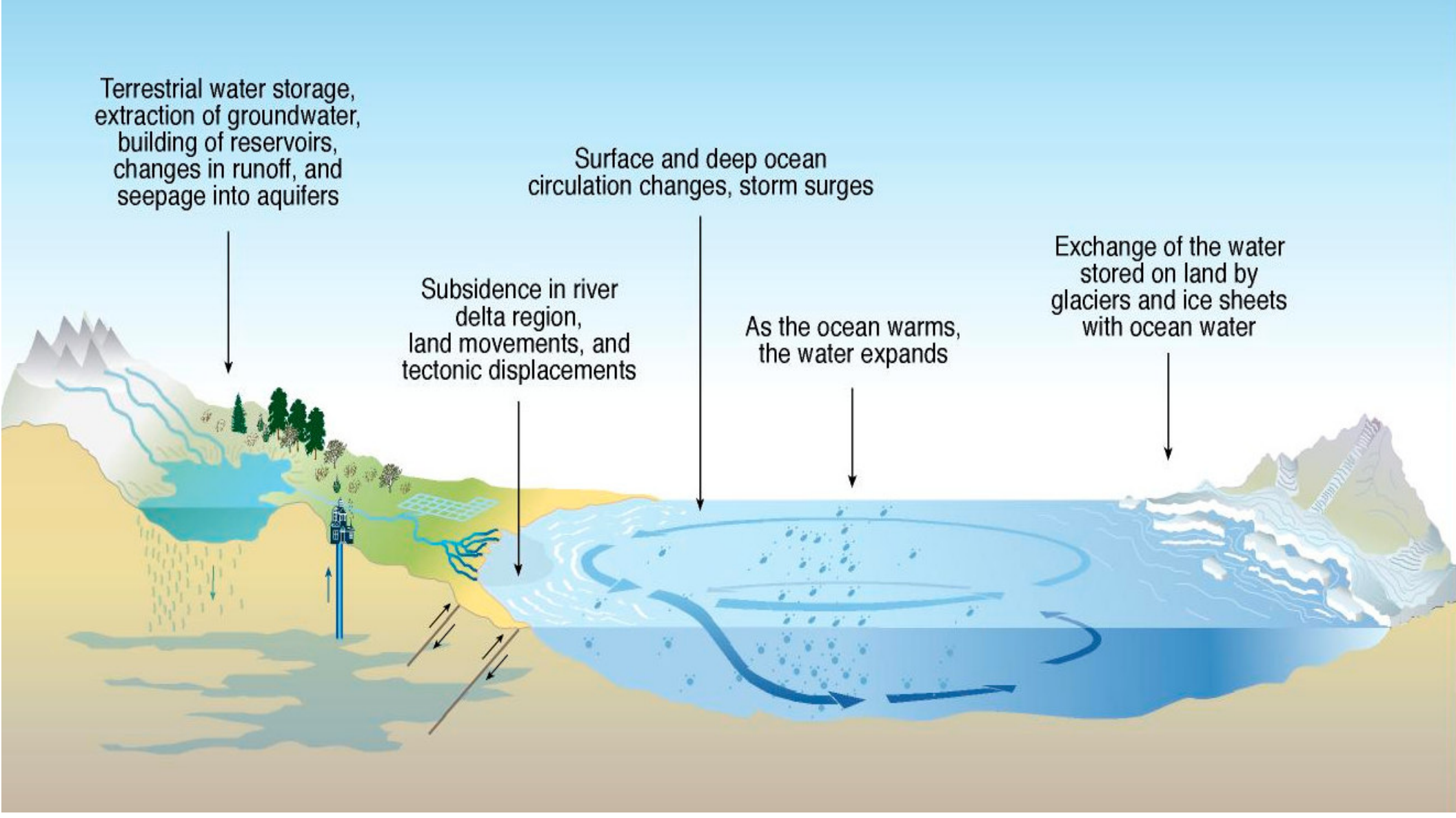
(c) Cobertura de neve no hemisfério Norte





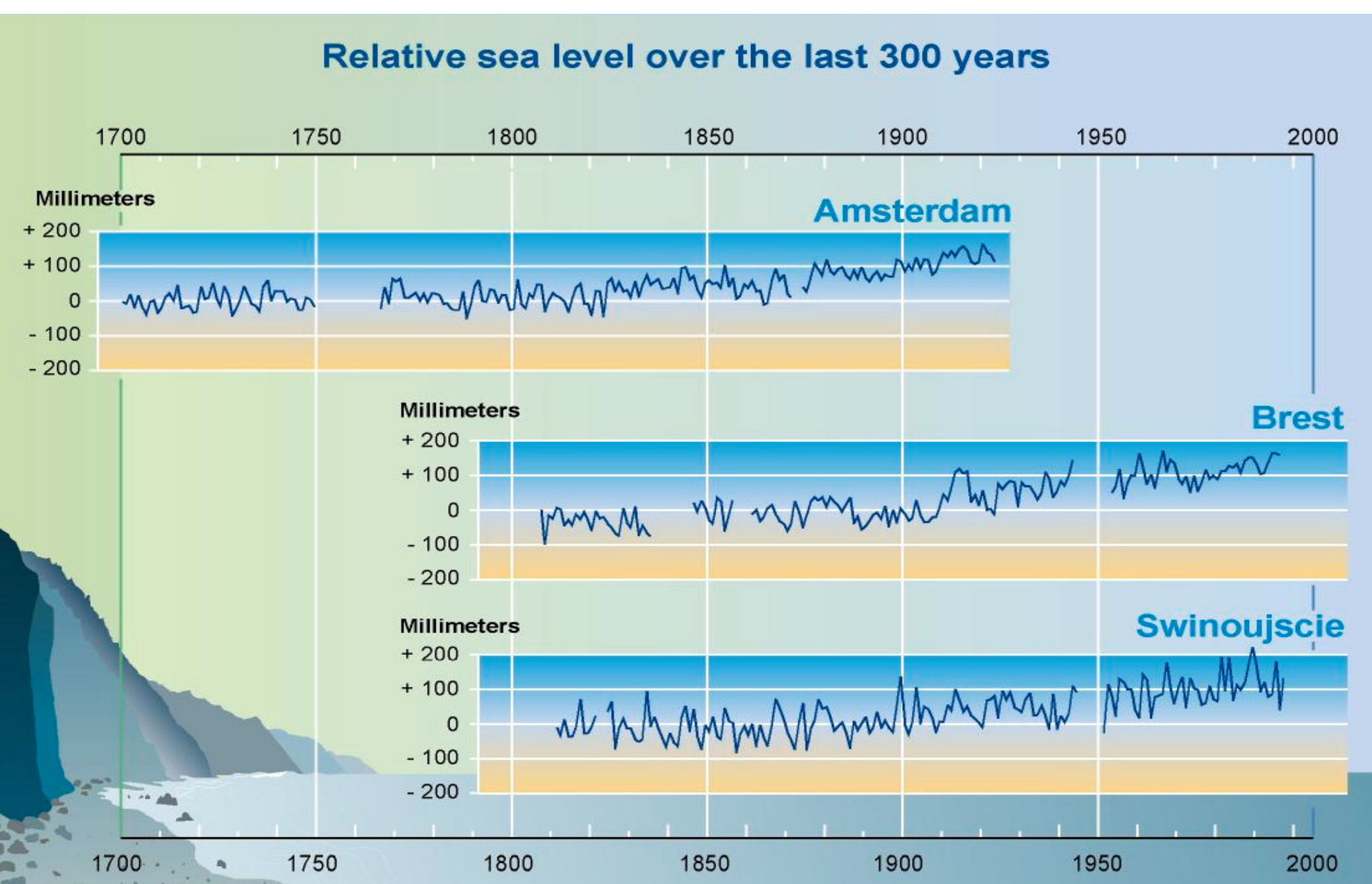


#### What causes the sea level to change?



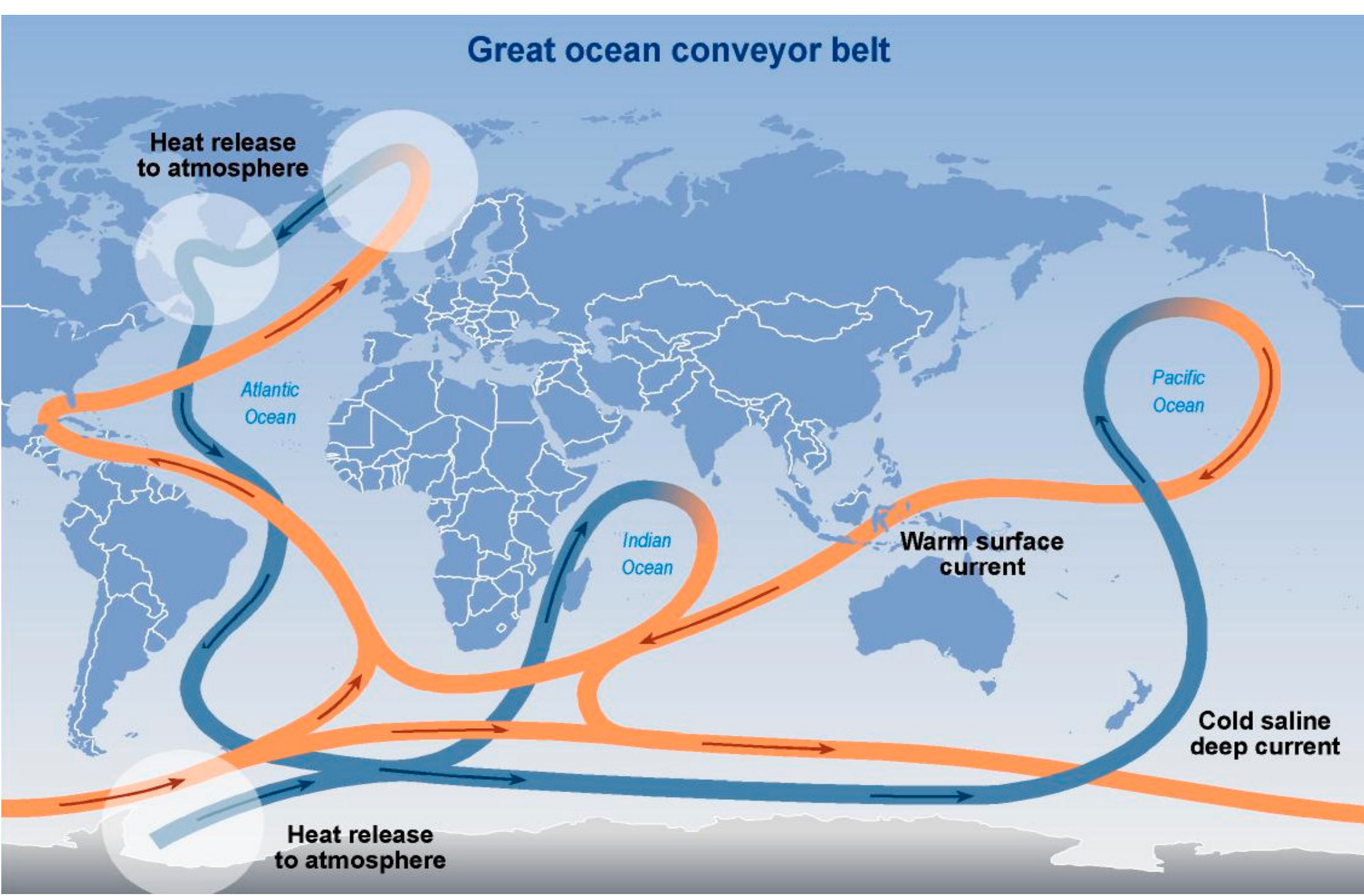










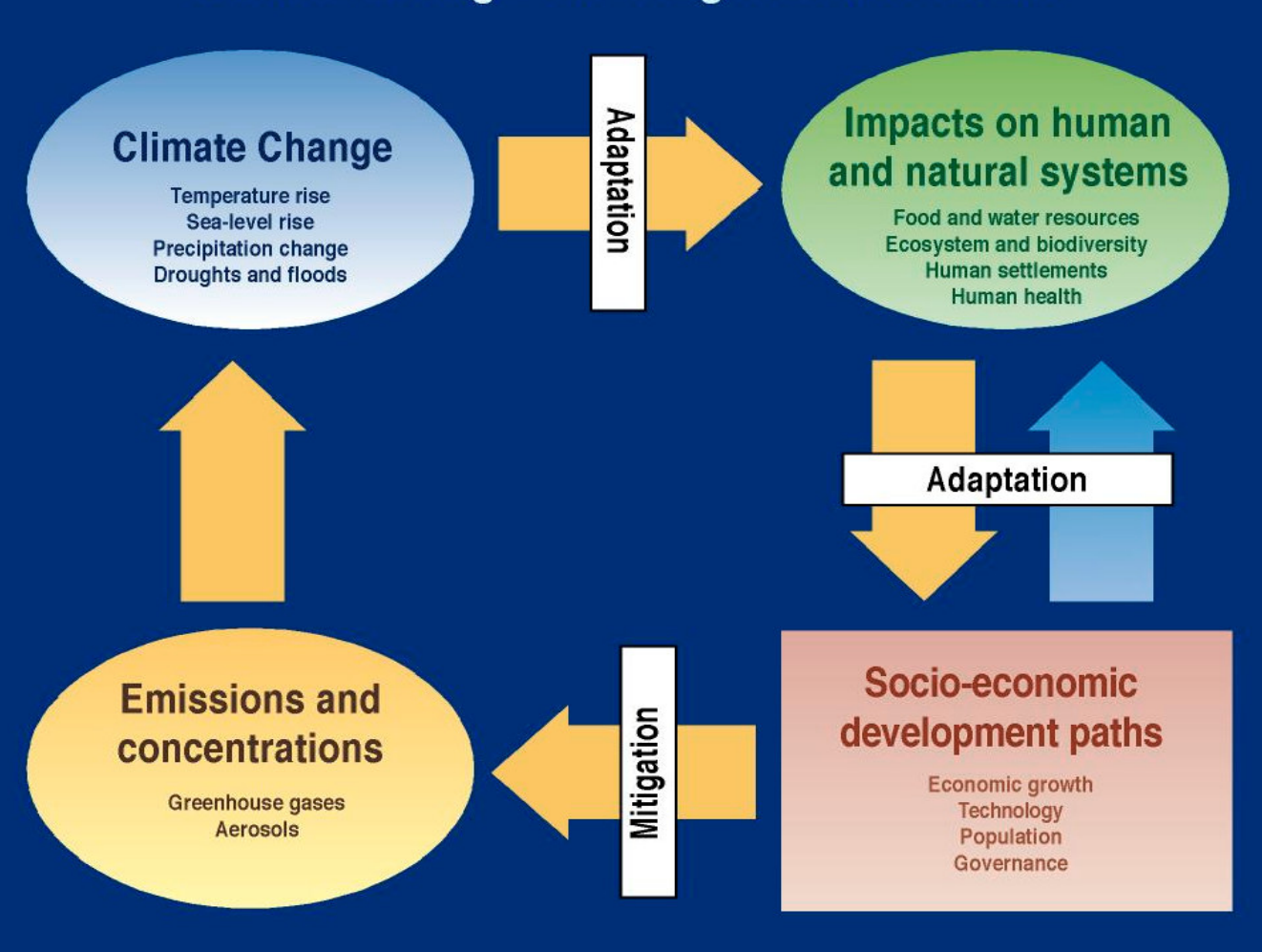




#### Mudanças Climáticas - Framework



#### Climate Change - an integrated framework



SYR FIGURE 1-1



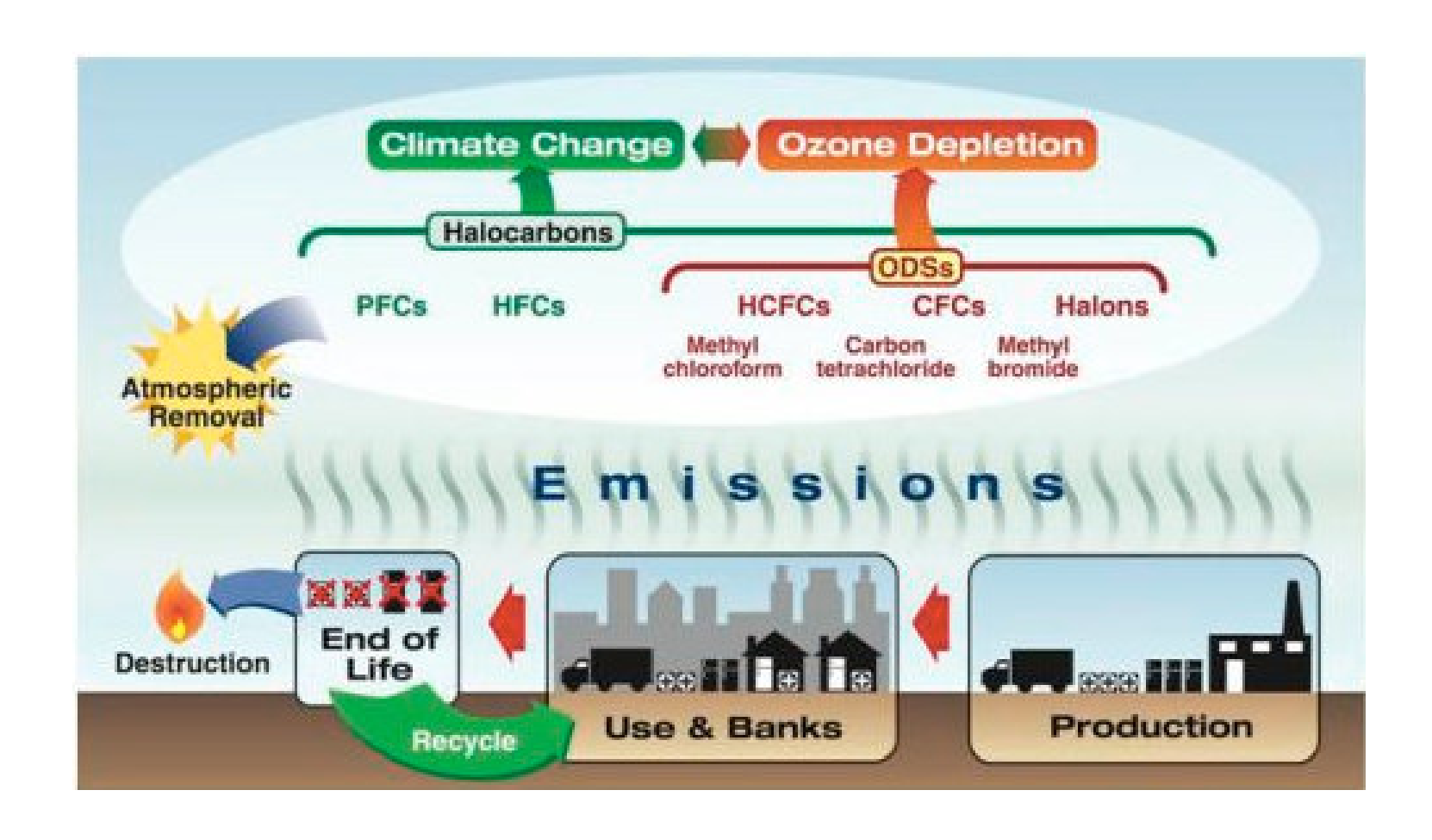




 http://geography.uoregon.edu/envchange/clim\_ani mations/index.html







## Scheme of the temperature indicators

#### Lower stratosphere

\*\* Lower stratosphere: 0.5 to 2.5 degrees C decrease since 1979

#### Upper:

\* Little or no change since 1979

#### Low- to Mid-:

\*\* 0.0 to 0.2 degree C increase since 1979 (satellites and balloons) 0.2 to 0.4 degree C increase since circa 1960

#### Near surface

Troposphere

North Hemisphere spring snow cover extent: since 1987, 10% below 1966-1986 mean

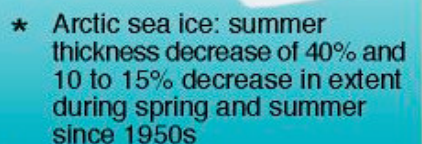
- 1990s warmest decade of the millennium and 1998 warmest year for at least the North Hemisphere
- \*\* Marine air temperature: 0.4 to 0.7 degrees C increase since the late 19th century
- \*\*\* Sea surface temperature: 0.4 to 0.8 degree C increase since the late 19th century
  - \* Global ocean (to 300m depth) heat content increase since 1950s equal to 0.04 degree C per decade

Ocean

- Massive retreat of mountain glaciers during the 20th century
  - \* Land air temperatures: 0.4 to 0.8 degree C C increase since the late 19th century
  - \*\* Lake and river ice retreat at mid and high latitudes since the late 19th century (2 week decrease in ice duration)
- \*\*\* Land night time air temperature increasing at twice the rate of daytime temperatures since 1950

Land





Antartic sea ice: no signifiant change since 1978

Ocean

#### Likelihood

- \*\*\* Virtually certain
- \*\* Very likely
- \* Likely
- probability more than 99% probability of 90 to 99%
- probability of 66 to 90%
- ? Medium likelihood probability of 33 to 66%